

REFERENCIA BIBLIOGRÁFICA

REFERENCIA BIBLIOGRÁFICA

- Aldrich, M. J. Jr., Adams, A. I. and Escobar, C. (1991): Structural geology and stress history of the Platanares geothermal site, Honduras: implications on the tectonics of the northwestern Caribbean plate boundary. *Jour. Volc. Geotherm. Res.*, vol. 45, p. 59-69.
- Anderson, T. H. and Schmidt, V. A. (1983): The evolution of middle America and the Gulf of Mexico-Caribbean Sea region during Mesozoic time. *Geol. Soc. Amer. Bull.*, vol. 94, p. 941-966.
- Bierlein, F. P. and Crowe, D. E. (2000): Phanerozoic orogenic lode gold deposits. *SEG Reviews*, 13, p. 103-139.
- BRGM (1991): Preliminary report of prefeasibility study of Guasucarán prospect (Sub-program II).
- Burke, K., Cooper, C., Dewey, J. F., Mann, P. and Pindell, J. L. (1984): Caribbean tectonics and relative plate motions. *Geol. Soc. Amer. Memoir*, 162, p. 31-63.
- Cooke, D. R. and Simmons, S. F. (2000): Characteristics and genesis of epithermal gold deposits. *SEG Reviews*, 13, p. 221-244.
- Dirección Ejecutiva de Fomento a la Minería(1987): Inventario minero de Honduras. Informe de ocurrencia mineral. (inédito).
- Dirección General de Minas e Hidrocarburos, Bureau de Recherches Geologiques Et Minières, Dirección Ejecutiva del Catastro Centro de Informatica y Instituto Geografico Nacional Centro de Publicaciones (1992): Mapa metalogénico de la República de Honduras, Escala 1: 500,000
- Dirección General de Minas e Hidrocarburos y BRGM (1992): Texto explicativo del mapa metalogénico y catalogo de minas y ocurrencias minerales.
- Donnelly, T. W., Horne, G. S., Finch, R. C. and López-Ramos, E. (1990): Northern Central America; The Maya and Chortis blocks. Chapter 3 of *The Caribbean region, The geology of north America*, vol. H, *Geo. Soc. Amer.*, p. 37-76.
- Emsbo, P. (2000): Gold in sedex deposits. *SEG Reviews*, 13, p. 427-437.
- Finch, R. C. (1981): Mesozoic stratigraphy of central Honduras. *AAPG Bull*, vol. 65, p. 1320-1333.
- Giles, D. L. (1983): Evaluation of gold-silver prospects and gold exploration potential Honduras. United Nations Revolving Fund For Natural Resource Exploration.
- Guerrero, I. J. (2002): Breve descripción litoestratigráfica. (inédito).
- Hatchinson, R. W. (1982): Study on ore deposits in Honduras. (inédito).
- Hayashi, T. (2000): Report on official tour of Republic of Honduras. MMAJ. (Internal report)
- Hayashi, T. (2002a): Note on ore deposits of Honduras and their prospects. MMAJ. (Internal report)
- Hayashi, T. (2002b): Consideration about metallogenic zones of Honduras. MMAJ. (Internal report)
- Hedenquist, J. W., Izawa, E., Arribas, A. and White, N. C. (1996): Epithermal gold deposits: styles, characteristics, and exploration. *Resource Geology Special Publication Number 1* (Soc.

Res. Geology).

- Hedenquist, J. W., Arriba, A. R. and Gonzalez-Urien E. (2000): Exploration for epithermal gold deposits. *SEG Reviews*, 13, p. 245-277.
- Horne, G. S., Atwood, M. G. and King, A. P. (1974): Stratigraphy, sedimentology, and paleoenvironment of Esquias formation of Honduras. *AAPG Bull*, vol. 58, p. 176-188.
- Huhta, J. V. (1983): Mission report. United Nations Revolving Fund For Natural Resources Exploration.
- Huston, D. L. (2000): Gold in volcanic-hosted massive sulfide deposits: Distribution, genesis and exploration. *SEG Reviews*, 13, p. 401-426.
- Instituto Geográfico Nacional (1969): Mapa geológico de Honduras "Nueva Armenia" 1: 50,000.
- Instituto Geográfico Nacional (1969): Mapa geológico de Honduras "San Buenaventura" 1: 50,000.
- Instituto Geográfico Nacional (1970): Mapa geológico de Honduras "Comayagua" 1: 50,000.
- Instituto Geográfico Nacional (1970): Mapa geológico de Honduras "San Juan De Flores" 1: 50,000.
- Instituto Geográfico Nacional (1973): Mapa geológico de Honduras "Cedros" 1: 50,000.
- Instituto Geográfico Nacional (1979): Mapa geológico de Honduras "San Pedro Zacapa" 1: 50,000.
- Instituto Geográfico Nacional (1981): Mapa geológico de Honduras "El Porvenir" 1: 50,000.
- Instituto Geográfico Nacional (1985): Mapa geológico de Honduras "Santa Barbara" 1: 50,000.
- Instituto Geográfico Nacional (1993): Mapa geológico de Honduras "Tegucigalpa" 1: 50,000.
- Instituto Geográfico Nacional (1995): Mapa geológico de Honduras "Valle De Jamastran" 1: 50,000.
- Instituto Geográfico Nacional (1996): Mapa geológico de Honduras "Moroceli" 1: 50,000.
- Instituto Geográfico Nacional (1996): Mapa geológico de Honduras "Yuscarán" 1: 50,000.
- Instituto Geográfico Nacional (1998): Mapa geológico de Honduras "Ojojona" 1: 50,000.
- Instituto Geográfico Nacional (1990): Mapa geológico de Honduras "Danlí" 1: 50,000.
- Instituto Geográfico Nacional (1990): Mapa geológico de Honduras "La Unión" 1: 50,000.
- Japan International Cooperation Agency and Metal Mining Agency of Japan (1980): Republic of Honduras. Report on geological survey of the Western area.
- Japan International Cooperation Agency and Metal Mining Agency of Japan (1997): Informe sobre exploracion de minerals del area de San Antonio La Reublica De Honduras.
- Japan International Cooperation Agency and Metal Mining Agency of Japan (1998): Informe sobre exploracion de minerals del area de San Antonio La Reublica De Honduras.
- Japan Mining Engineering Center for International Cooperation (2000): Estados Unidos de Mexico y Republica de Honduras. (Japones).
- Kesler, S. E. , Levy, E. and Martín, C. F. (1990): Metallogenic evolution of the Caribbean region. *The geology of north America*, vol. H, The Caribbean region, *Geo. Soc. Amer.* , p. 459-482.
- Kimura, G. (2002): Tectonics of convergent plate boundaries. Univ. Tokyo Press (Tokyo).
- Kimura, T. (1993): Resumen sobre las minas abandonadas y los yacimientos de oro y plata en Hnduras. (Inédito).

- Kinbara, K. (1982): Study of alteration zones. General handbook of geothermal exploration. Fuji-techno-system (Tokyo), p. 41-52. (In Japanese)
- Kozuch, M. J. (1991): Mapa geológico de Honduras 1: 500, 000.
- Minster, J. B. and Jordan, T. H. (1978): Present-day plate motions. *Jour. Geophys. Res.*, vol. 83, p. 5331-5354.
- Pindell, J. L. and Barrett, S. F. (1990): Geological evolution of the Caribbean region; A plate tectonic perspective. Chapter 16 of *The Caribbean Region, The geology of north America*, vol. H, *Geo. Soc. Amer.*, p. 405-428.
- Solomon, S. C., Sleep, N. H. and Jurdy, D. M. (1977): Mechanical models for absolute plate motions in the Early Tertiary. *Jour. Geophys. Res.*, vol. 82, p. 203-212.
- Svanholm, J. (1968): U. N. Technical Assistance Operations Honduras.
- Sillitoe, R. H. (1995): Exploration of porphyry copper lithocaps. PACRIM'95, p. 527-532.
- Sillitoe, R. H. (1999): Styles of high-sulphidation gold, silver and copper mineralization in porphyry and epithermal environments. PACRIM'99, p. 29-44.
- Sillitoe, R. H. (2000): Gold-rich porphyry deposits: Descriptive and genetic models and their role in exploration and discovery. *SEG Reviews*, 13, p. 315-345.
- Takahashi, M. (2000): Island arc, magma and tectonics. Univ. Tokyo Press (Tokyo).
- Takenouchi, S. (1978): Fluid inclusions and ore-forming fluids of porphyry copper deposits. *Mining Geol.*, vol. 28, p.117-130.
- Togashi, Y. and Nakamura, K. (1990): Gold deposits in the western United States (3)-Mineralization associated with detachment faults-. *Chishitsu News*, No. 429, p. 13-23.
- Togashi, Y. and Nakamura, K. (1990): Gold deposits in the western United States (4)-Mesquite and Picacho deposits, southeastern California -. *Chishitsu News*, No. 430, p. 49-59.
- United Nations Revolving Fund For Natural Resources Exploration (1987): Exploration for precious and base metals in Honduras Semi-annual Report.
- United Nations Revolving Fund For Natural Resources Exploration (1987): Exploration for precious and base metals in Honduras Annual Report.
- United Nations Revolving Fund For Natural Resources Exploration (1991): Exploration for precious and base metals in Honduras Final Report Part 1.
- United Nations Revolving Fund For Natural Resources Exploration (1991): Exploration for precious and base metals in Honduras Final Report Part 3.

APÉNDICES

- A Relación de Muestras (Rocas)
- B Relación de Muestras (Minerales)
- C Relación de Muestras (Alveos)
- D Puntos de Muestreo
- E Resultados de Análisis Químicos (Minerales)
- F Resultados de Análisis Químicos (Alveos)
- G Resultados de Análisis Químicos (Alveos de Bateado)
- H Resultados de Estudios Petrográficos
- I Resultados de Calcograficos
- J Resultados de Análisis de Difracción de Rayos X
- K Resultados de Medición de Temperatura en Inclusiones Fluidas
- L Resultados de Datación Radiométrica
- M Pruebas de Reproducción

採取岩石・鉱石試料一覧表及びルートマップ用略語一覧表
Abreviatura para lista de muestras y mapa de ruta

ig	ignimbrite, welded tuff	ignimbrita	10cm-w	10cm wide	10cm de ancho
rhy	rhyolite	riolita	10cm-d	10cm deep	10cm de hondo
da	dacite	dacita	10cm-l	10cm long	10cm de largo
qp	quartz porphyry	porfido cuarcefero	10cm-h	10cm high	10cm de alto
gr	granite	granito	v	vein	veta
and	andesite	andesita	vlt	veinlet	venilla
por	porphyry	porfirita	net	network	stockwork
dio	diorite	diorita	sk	skarn	eskarn
monz	monzonite	monzonita	dis	dissemination	diseminacion
bsl	basalt	basalto	imp	impregnation	impregnacion
dol	dolerite	dolerita	seg	segregation	segregacion
gbr	gabbro	gabro	wht	white	blanco
grf	granophyre	granofido	gry	gray	gris
felsic	felsic	felsico	brn	brown	pardo
rhy-	rhyolitic	rioritica	blk	black	negro
da-	dacitic	dacitica	yel	yellow	amarillo
gr-	granitic	granitica	grn	green	verde
and-	andesitic	andesitica	red	red	rojo
dio-	dioritic	intermedia	blu	blue	azul
bsl-	basaltic	basaltica	gry-	grayish	grisaceo
silic	silicic	silicio	brn-	brownish	pardoso
cal	calcareous	calcareo	yel-	yellowish	amarillento
tf	tuff	toba	red-	reddish	rojizo
lptf	lapilli tuff	toba lapilli	grn-	greenish	verdoso
tbr	tuff breccia	brecha tobacea	blu-	bluish	azulado
vbr	volcanic breccia	brecha volcanica	p-	pale	palido
aglo	agglomerate	aglomerado	lgt-	light	ligero
cgl	conglomerate	conglomerado	drk-	dark	oscuro
ss	sandstone	arenisca	py	pyrite	pirita
ms	mudstone	fangolita	gln	galena	galena
sh	shale	lutita	sph	sphalerite	esfalerita
ss/ms	alternation of ss and ms	alternacion de arenisca y fangolita	cpy	chalcopryite	calcopirita
ls	limestone	caliza	qtz	quartz	cuarzo
dls	dolostone	dolomita	Cu-ox	Cu oxide	oxido de cobre
snd-	sandy	arenoso	ep	epidote	epidota
mud-	muddy	fangoso	kaol	kaolin	kaolinita
alt	altered	alteracion	mon	montmorillonite	montmorillonita
s-alt	strongly altered	alteracion fuerte	hem	hematite	hematita
m-alt	moderately altered	alteracion media	chl	chlorite	clorita
w-alt	weakly altered	alteracion debil	cc	calcite	calcita
arg	argillized	argilizacion	K-fel	K-feldspar	feldespato potasico
s-arg	strongly argillized	argilizacion fuerte	pl	plagioclase	plagioclasa
m-arg	moderately argillized	argilizacion media	px	pyroxene	piroxeno
w-arg	weakly argillized	argilizacion debil	ol	olivine	olivina
sil	silicified	silicificacion	limo	limonite	limonita
s-sil	strongly silicified	silicificacion fuerte	gnt	garnet	granate
m-sil	moderately silicified	silicificacion media	bio	biotite	biotita
w-sil	weakly silicified	silicificacion debil	hrn	hornblede	hornblenda
weath	weathered	intemperisada	mus	muscovite	muscovita
s-weath	strongly weathered	intemperisada fuerte	-brg	-bearing	
m-weath	moderately weathered	intemperisada media	float	float	clastos sueltos
w-weath	weakly weathered	intemperisada debil	ore	ore	mena
vcsq	very coarse grained	muy gruesa	rock	rock	roca
csq	coarse grained	gruesa	replaced by	replaced by	reemplazo
mdg	medium grained	media			
fng	fine grained	finá			
vfng	very fine grained	muy fina			

A Relación de Muestras (Rocas)

A 採取岩石試料一覽表 Relacion de Muestras (Rocas)

試料番号 Sample No.	Coordinate		Laboratory work							岩相Rock Facies	備考Remarks
	X(m)	Y(m)	G	T	X	P	O	F	K		
B004 g	462417	1525210			1					m-sil lptf	Rio La Sonta(N)
B005 g	462663	1525655			1					m-w-sil lptf	Rio La Sonta(N)
B007 g	460282	1525653			1					and-lptf w-arg w-chl	
D001 g	461835	1524796			1					wht clay (arg limo)	Rio La Sonta(W)
D005 g	460368	1524524			1					alt and including chl	Rio La Sonta(W)
D006 g	460200	1522100			1					tf including chl	
D007 g	461400	1522563			1					da-tf including chl	
E003 g	462911	1524442			1					red s-arg tf	Rio La Sonta(E)
E005 g	462681	1524545			1					red arg tf	Rio La Sonta(E)
E007 g	462483	1524581			1					red arg tf	Rio La Sonta(E)
E008 g	462216	1524554			1					wht s-arg tf	Rio La Sonta(E)
E009 g	462000	1524601			1					red arg tf	Rio La Sonta(E)
E010 g	460289	1524531			1					w-chloritized and with ep	
B021 c	418270	1588424		1						ls blk	
E047 c	421055	1580477			1					yel-grn arg tf	
E075 c	422219	1586756		1						wht rhy	
E076 c	422207	1586509		1					1	monzonita con cuarzo	
B025 E	351536	1573702			1					arg v 10cm-w	
D011 E	356623	1587839			1					calcedony v 5cm-w	

G:Geochemical assay, T:Thin section, X:X-ray diffraction, P:Polished section, O:Ore assay, F:Fluid in
K:K-Ar dating, A:PIMA

B Relación de Muestras (Minerales)

B 採取鉱石試料一覧表 Relacion de Muestras (Minerales)

試料番号 Sample No.	UTM		Laboratory work							岩相Rock Facies	備考Remarks	
	X(m)	Y(m)	G	T	X	P	O	F	K			
D002	g	461051	1524398	1	1					1	wht alt da?-(lp)tf	Rio La Sonta(W)
D003	g	461796	1524491			1	1			1	qtz cc v with py	Rio La Sonta(W)
E001	g	462270	1524975	1						1	sil (lp)tf	Rio la Sonta
B012	c	414609	1589123	1						1	80cm-w arg sil tf py-dis	El Playon
B013	c	414609	1589123				1	1			quartzite py imp	El Playon
B014	c	414609	1589123				1	1			py ore	El Playon
B015	c	414742	1589150				1	1			quartzite with py	El Playon
B018	c	418368	1587344				1	1	1		qtz v with Sb, py	Coyolito
B019	c	418368	1587344			1	1	1			py imp quartzite or sil ss	Coyolito
B020	c	418368	1587344							1	blue clay(gouge?)	Coyolito
B024	c	419553	1588205							1	qtz v 10cm-w in dyke	Dir: N50E90
B101	c	418368	1587344				1				qtz v with Sb, py	Coyolito
B102	c	418368	1587344				1				qtz v with Sb, py	Coyolito
E017	c	422000	1586600				1				py	Tepanguare
E018	c	421946	1586564	1						1	pale blue clay (and-tf)	Tepanguare(Mina Rubi)
E020	c	421908	1586546			1		1			sil rock	
E021	c	421901	1586517	1						1	s-arg da-tf	Tepanguare
E025	c	421910	1586397			1		1			sil rock v	
E048	c	421153	1579648					1	1		qtz v waste	near Chanton(N)
E049	c	421426	1579799	1						1	s-arg wht rhy-tf pmc-brg	Canton(N)
E054	c	421561	1579090			1		1			m-arg tf	Chanton(S)
E057	c	421561	1579090			1		1			m-arg tf	Chanton(S)
E060	c	421561	1579090			1		1			m-arg tf	Chanton(S)
E063	c	421561	1579090			1		1			m-arg tf	Chanton(S)
E064	c	421561	1579090			1		1			sil v	Chanton(S)
E065	c	421561	1579090			1		1			sil v	Chanton(S)
E074	c	422261	1586715							1	qtz v float	NW hillside of Cerro El Palmar
D012	E	356492	1587692			1		1			sil rock	
E068	E	343790	1575001	1				1			bsl-tf	Las Trojes
E067	O	306624	1601146	1						1	yel w-m-sil s-arg rock (da)	El Durazno
D010	Q	360853	1627945	1						1	wht clay with py Pb float (cgl sil)	Matasano
E031	c	432959	1600433							1	qtz v	La Chacra V
E035	c	432959	1600433							1	qtz v	La Chacra V
E038	c	432959	1600433							1	qtz v	La Chacra V
E071	G	461816	1530653	1						1	wht-grn w-s-sil w-m-arg lptf	El Plomo (El Padre)
E072	G	461816	1530653							1	qtz v	El Plomo (El Padre)
E073	G	461386	1530444	1						1	wht-blue clay (s-arg lptf)	El Plomo (Amatillo)
B008	V	490625	1571700	1						1	1m-w w-sil v ss vfng	El Rosario
E015	Y	517104	1540571	1						1	m-arg sil and	Yuscaran (Guayabillas)
E077	Y	515279	1541767	1						1	wht-grn w-m-arg and repcaed by K-fel	Yuscaran (Mata de Platano)
E078	Y	515265	1541730							1	qtz v waste	Yuscaran (Mata de Platano)
B010	H	515918	1573099	1						1	20cm-w sil-v grn Cu (toba soldada)	Las Jaguas
E016	P	586102	1578933	1						1	wht arg ss fng	Palmillas(Rehabilitacion #4)
B027	Z	333335	1682468	1						1	arg semi-schist(ss) Au ore (3g/t?)	Vueltas del Rio #2 pit
B029	Z	333831	1682318	1						1	arg semi-schist(tf) with py,grn-Cu	Vueltas del Rio #1 pit
San Martin #	3	491393	1625233	1						1	lgt-brn schist (wht clay along schistosity)	San Martin
E080	S	497058	1552489	1						1	wht clay (s-arg wht rhy-tf)	San Antonio de Oriente
E082	S	489458	1440801	1						1	wht s-m-arg s-m-sil rock	Los Lirios

G:Geochemical assay, T:Thin section, X:X-ray difraction, P:Polished section, O:Ore assay, F:Fluid inclusion, K:K-Ar dating, A:PIMA

C Relación de Muestras (Alveos)

C-1 採取沢砂試料一覽表Relacion de Muestras (Alveos)

No.	Sample	Sampling location						River								Sampling side	Sample								Remark								
		UTM(m)		Alutitude (m)	Width (m)	Depth (cm)	Class	Color			Current				R	C	L	Y	Color		Contami		Sand amount			Organic amount							
		E	N					O	T	C	D	F	M	S					R	B	Y	N	Muddy	Med		Sandy	L	M	H				
1	b001	ES	351576	1573507	890	10	?	3	1				1			1					Y	N			1	1							
2	b002	ES	351576	1573507	890	10	?	3	1				1			1									1	1							Pan.
3	b003	ES	351750	1573550	919	10	?	3			1					1	1							1				1					
4	b004	ES	351750	1573550	919	10	?	3			1					1	1							1				1					Dup.
5	b005	ES	352252	1577015	1030	2	30	1			1					1	1							1				1					
6	b006	ES	351798	1579298	1142	1	15	1			1					1	1							1				1					
7	b007	ES	350914	1575036	892	15	?	3			1				1									1									1
8	b008	ES	350732	1575061	901	7	?	3			1					1	1							1									1
9	b009	ES	348961	1577363	1163	1	20	1			1				1									1				1					
10	b010	ES	348846	1577651	1178	2	30	3			1				1									1				1					
11	b011	ES	347776	1577641	1223	1	20	1			1				1									1				1					1
12	b012	ES	346119	1579987	1274	1	20	1			1					1	1							1				1					
13	b013	ES	352839	1575648	1197	1	10	1			1					1	1							1				1					
14	b014	ES	353186	1576224	1238	1	10	1			1					1	1							1				1					
15	b015	ES	353186	1576224	1238	1	10	1			1					1	1							1				1					Dup.
16	b016	ES	354710	1576817	1352	1	10	1			1					1	1							1				1					
17	b017	ES	353103	1574990	1172	1	10	2			1					1	1							1				1					
18	b018	ES	352280	1575990	1071	1	20	2			1					1	1							1				1					
19	b019	ES	355340	1584163	1263	7.5	80	3			1					1								1				1					
20	b020	ES	355301	1584276	1272	1	10	2			1					1								1				1					
21	b021	ES	352626	1584129	1233	1	10	1			1					1	1							1				1					
22	b022	ES	352792	1585555	1141	2	30	3			1					1	1							1				1					
23	b023	ES	355279	1588270	1424	1	10	1			1					1	1							1				1					
24	b024	ES	355920	1586906	1385	1	10	1			1					1	1							1				1					
25	b025	ES	355886	1586623	1342	1	10	2			1					1	1							1				1					
26	b026	ES	352384	1585829	1145	1.5	5	2			1					1	1							1				1					
27	b027	ES	352560	1586722	1121	1	5	3			1					1	1							1				1					
28	b028	ES	352560	1586722	1121	1	5	3			1					1	1							1				1					Pan.
29	b029	ES	352553	1587149	1094	10	30	3			1					1	1							1				1					
30	b030	ES	352423	1587126	1090	1	5	1			1					1	1							1				1					
31	b031	ES	352485	1587676	1114	2	5	1			1					1	1							1				1					
32	b032	ES	352559	1587635	1114	2	5	1			1					1	1							1				1					
33	b033	ES	351479	1587503	1113	1	5	1			1					1	1							1				1					
34	b034	ES	351514	1587684	1093	5	5	1			1					1	1							1				1					
35	b035	ES	351332	1588011	1082	1	10	2			1					1	1							1				1					
36	b036	ES	351333	1588047	1071	5	30	3			1					1	1							1				1					
37	b037	ES	352864	1588108	1184	0.5	3	1			1					1	1							1				1					
38	b038	ES	352897	1588113	1139	0.5	3	1			1					1	1							1				1					
39	b039	ES	353013	1587904	1121	5	50	3			1					1	1							1				1					

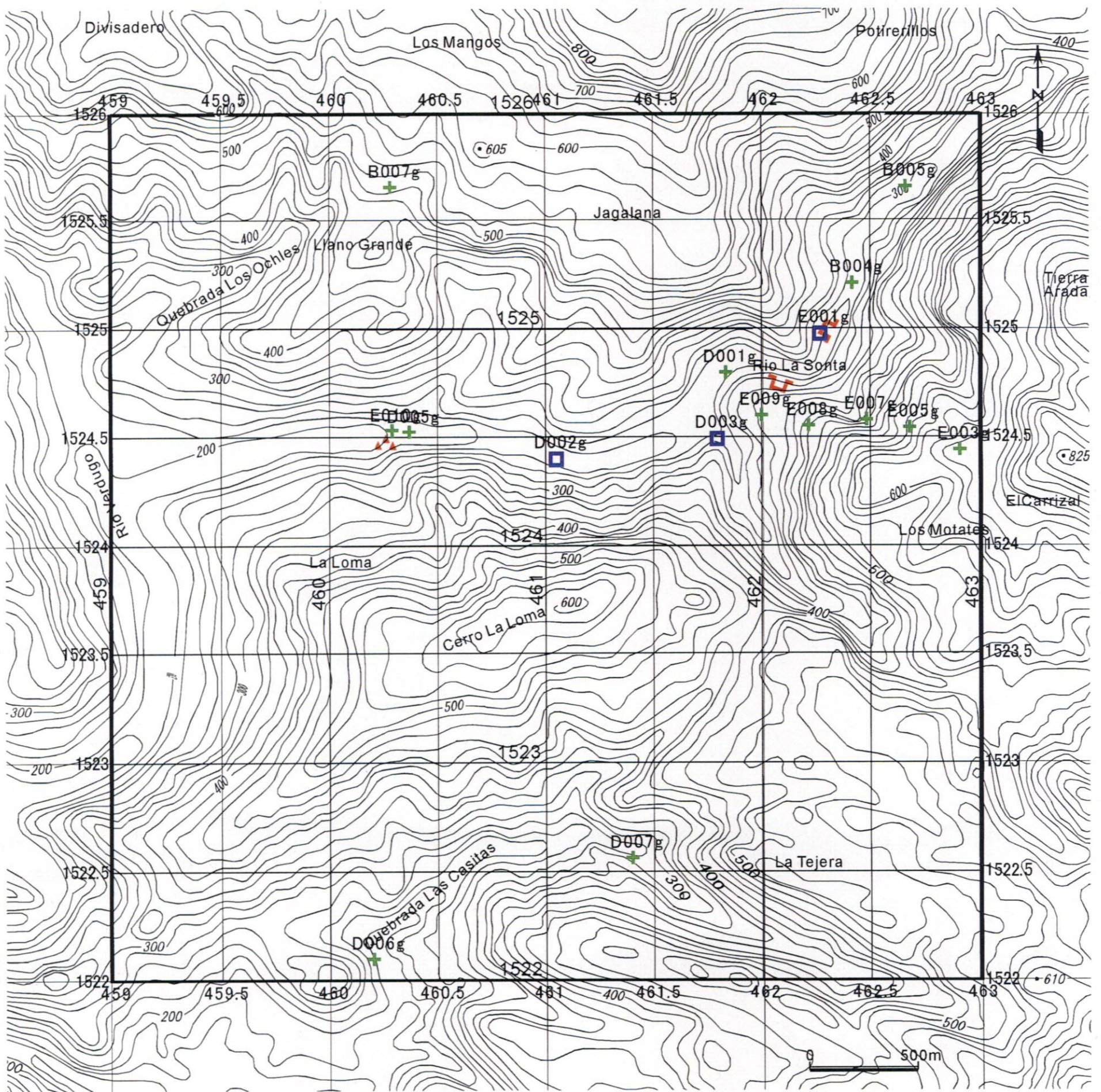
Color(river){O:opaque, T:transparent, C:colored}, Current{D:dark&Fast, F:fast, M:medium, S:slow}, Sampling side{R:right, C:center, L:left}, Color(sample){Y:yellow, R:red, B:brown}

C-3 採取沢砂試料一覽表Relacion de Muestras (Alveos)

No.	Sample	Sampling location		River										Sampling side			Sample						Remark				
		UTM(m)		Alutitude (m)	Width (m)	Depth (cm)	Class	Color			Current				Color			Contami			Sand amount			Organic amount			
		E	N					O	T	C	D	F	M	S	R	C	L	Y	R	B	Y	N		Muddy	Med	Sandy	L
79	d024 ES	350642	1585263	1057	2	10	1	1				1					1	1			1				1		
80	d025 ES	357011	1587559	1370	2	5	1	1					1				1	1				1				1	
81	d026 ES	356302	1587120	1340	1	5	1	1						1			1	1				1				1	
82	d027 ES	356150	1587008	1400	1	5	1	1						1			1	1				1				1	
83	d028 ES	355956	1586796	1434	1	5	1	1						1			1	1				1				1	
84	e002 ES	343464	1587766	1360	10	20	3	1					1				1			1				1	1		
85	e003 ES	343464	1587766	1360	10	20	3	1					1				1			1				1	1		Dup.
86	e004 ES	343464	1587766	1360	10	20	3	1					1				1			1				1	1		Pan.
87	e005 ES	343591	1585916	1400	2	5	1	1					1	1			1			1				1	1		
88	e006 ES	341336	1585303	1500	1.5	10	1	1					1	1			1			1				1	1		
89	e007 ES	342922	1586571	1420	1	20	1	1					1				1			1				1	1		
90	e008 ES	340293	1583590	1460	2	30	3	1					1				1			1				1	1		
91	e009 ES	340175	1583522	1460	3	30	2	1					1				1			1				1	1		
92	e010 ES	340540	1583188	1460	1	20	1	1					1	1			1			1				1	1		
93	e011 ES	340532	1583188	1460	1	10	1	1					1	1			1			1				1	1		
94	e012 ES	340392	1583126	1460	5	50	3	1					1	1			1			1				1	1		
95	e013 ES	340346	1582350	1460	4	50	3	1					1				1			1				1	1		
96	e014 ES	340346	1582350	1460	4	50	3	1					1				1			1				1	1		Dup.
97	e015 ES	340346	1582350	1460	4	50	3	1					1				1			1				1	1		Pan.
98	e016 ES	338926	1580470	1700	1	10	1	1					1				1			1				1	1		
99	e017 ES	339188	1581184	1680	1	15	1	1					1				1			1				1	1		
100	e018 ES	339136	1581254	1680	2	30	2	1					1				1			1				1	1		
101	e019 ES	339698	1581917	1480	2	50	1	1					1				1			1				1	1		
102	e021 ES	345065	1586565	1250	1	20	1	1					1				1			1				1	1		
103	e022 ES	345050	1586228	1240	2	20	2	1					1	1			1			1				1	1		
104	e023 ES	345050	1586228	1240	2	20	2	1					1	1			1			1				1	1		Pan.
105	e024 ES	345524	1585750	1210	4	30	2	1					1				1			1				1	1		
106	e026 ES	345500	1584926	1210	1	5	1	1					1				1			1				1	1		
107	e027 ES	345481	1584925	1210	1	15	1	1					1	1			1			1				1	1		
108	e028 ES	345708	1583184	1250	1	10	1	1					1	1			1			1				1	1		
109	e029 ES	345701	1583191	1250	1	15	1	1					1	1			1			1				1	1		
110	e030 ES	345784	1582701	1250	1	10	1	1					1	1			1			1				1	1		
111	e031 ES	345799	1582311	1250	1	10	1	1					1				1			1				1	1		
112	e032 ES	345302	1581695	1250	0.5	5	1	1					1				1			1				1	1		
113	e033 ES	345146	1581581	1250	1	20	1	1					1	1			1			1				1	1		
114	e034 ES	344817	1580612	1180	1	20	1	1					1	1			1			1				1	1		
115	e035 ES	344502	1580102	1160	6	20	3	1					1	1			1			1				1	1		
116	e036 ES	344561	1580086	1160	1	30	2	1					1	1			1			1				1	1		
117	e037 ES	344253	1578800	1160	2	20	1	1					1	1			1			1				1	1		

Color(river){O:opaque, T:transparent, C:colored}, Current{D:dark&Fast, F:fast, M:medium, S:slow}, Sampling side{R:right, C:center,L:left}, Color(sample){Y:yellow, R:red, B:brown}

D Puntos de Muestreo

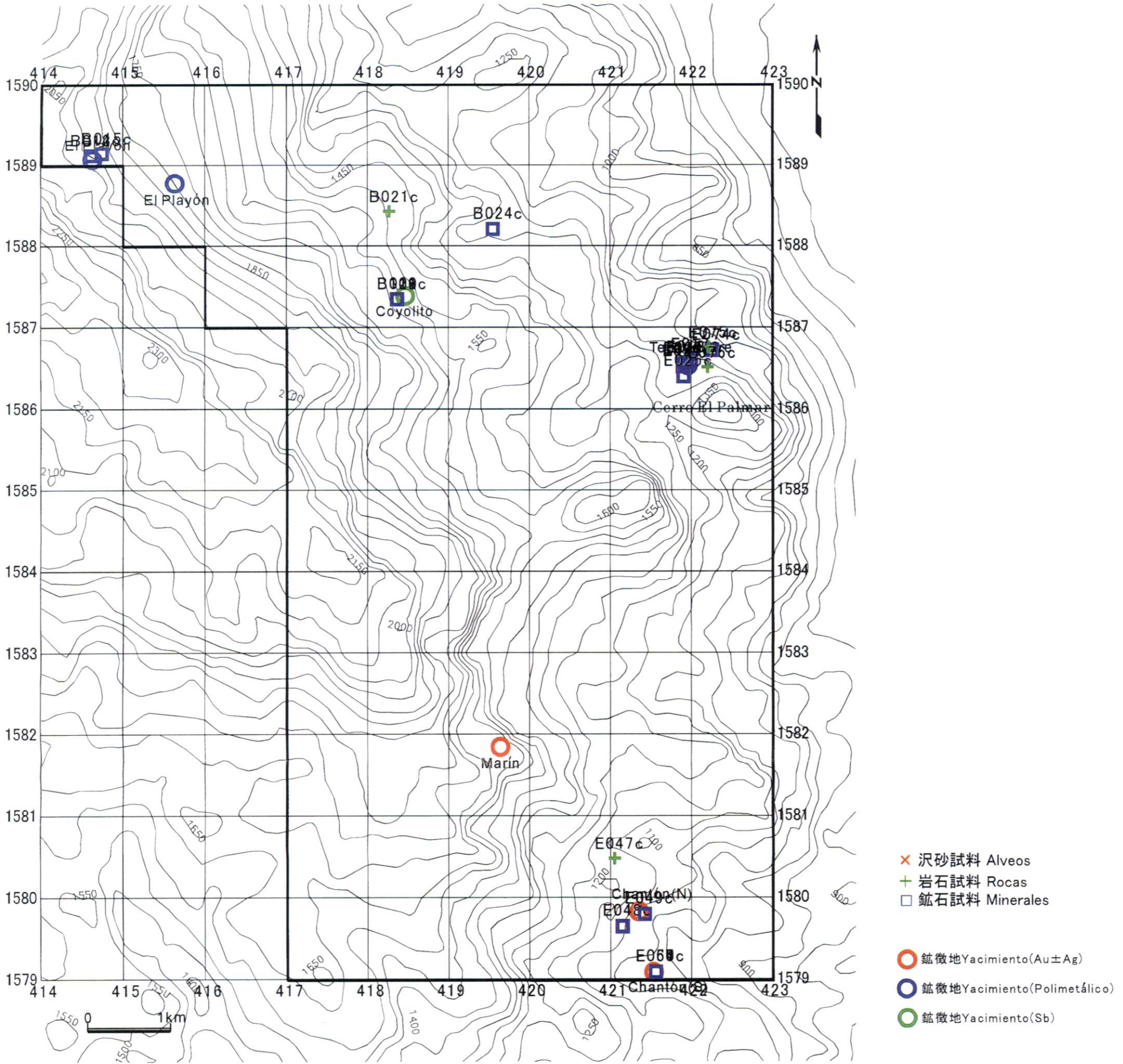


 旧坑 Socavón
  ゴッサン Sombrero de Hierro

-  沢砂試料 Alveos
-  岩石試料 Rocas
-  鉱石試料 Minerales

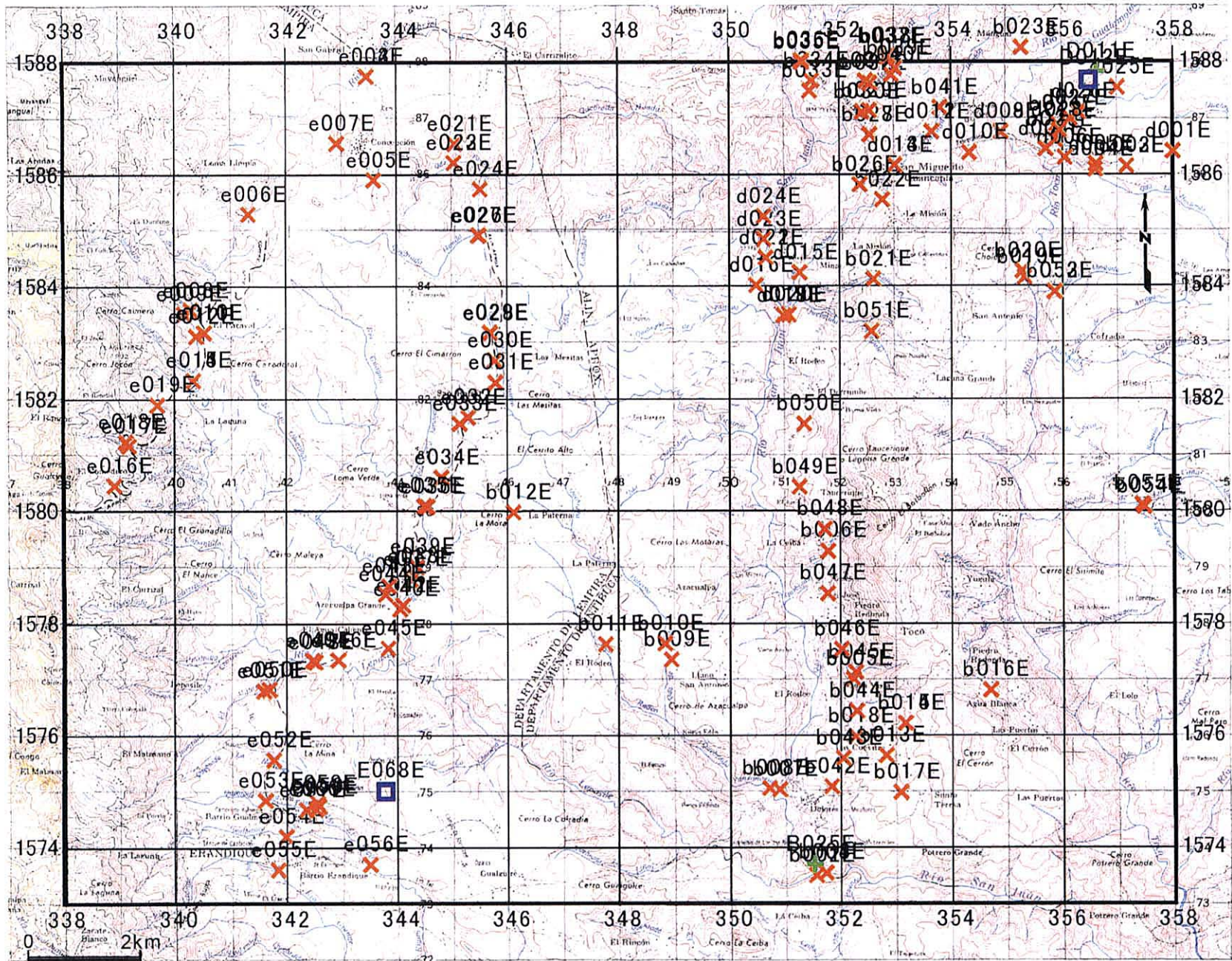
D-1 Guasucarán地区試料採取位置図

D-1 Puntos de Muestreo (Sector Guasucarán)



D-2 Comayagua地区試料採取位置図

D-2 Puntos de Muestreo (Sector Comayagua)



- × 沢砂試料 Alveos
- + 岩石試料 Rocas
- 鉱石試料 Minerales

D-3 Erandique周辺地区試料採取位置図
 D-3 Puntos de Muestreo (Sector Erandique)

E Resultados de Análisis Químicos (Minerales)

E 化学分析結果一覽表(鉍石)
Resultados de Analisis Quimicos (Minerales)

Sample	UTM(m)		Au ppb	Ag ppm	As ppm	Cu ppm	Hg ppm	Mo ppm	Pb ppm	Sb ppm	Zn ppm	Nota
	E	N										
B013c0	414609	1589123	840	7.8	1065	287	11	1	52	8	344	El Playon
B014c0	414609	1589123	179	3.9	1020	101	8	4	76	4	164	El Playon
B015c0	414742	1589150	21	2.4	81	166	1	1	2210	6	581	El Playon
B018c0	418368	1587344	5	1.5	775	24	3	12	<2	44200	41	Coyolito
B019c0	418368	1587344	6	0.8	106	20	1	5	46	89	69	Coyolito
E020c0	421908	1586546	337	70.7	4030	14	<1	1	204	45	41	Tepanguare
E025c0	421910	1586397	340	73.4	3900	14	1	1	194	44	39	Tepanguare
E048c0	421153	1579648	7	0.9	47	2	<1	1	3	13	<2	Chanton(N)
E054c0	421561	1579090	14	0.3	33	2	<1	20	52	5	4	Chanton(S)
E057c0	421561	1579090	16	<0.2	15	1	5	7	22	4	3	Chanton(S)
E060c0	421561	1579090	7	<0.2	8	1	1	1	17	3	4	Chanton(S)
E063c0	421561	1579090	8	<0.2	6	1	<1	1	6	<2	3	Chanton(S)
E064c0	421561	1579090	16650	19.1	7	2	57	3	14	5	3	Chanton(S)
E065c0	421561	1579090	3870	7.3	8	2	29	3	9	2	4	Chanton(S)
D012E0	356492	1587692	<5	<0.2	5	2	<1	1	2	78	5	Erandique
E068E0	343790	1575001	123	0.3	<2	1	<1	<1	2	<2	11	Erandique

F Resultados de Análisis Químicos (Alveos)

F-1 化学分析結果一覽表(沢砂) Resultados de Analisis Quimicos (Alveos)

Sample	UTM (m)		Au	Ag	Al	As	B	Ba	Be	Bi	Ca	Cd	Co	Cr	Cu	Fe	Ga	Hg	K	La	Mg	Mn	Mo	Na	Ni	P	Pb	S	Sb	Sc	Sr	Ti	Tl	U	V	W	Zn
	E	N	ppb	ppm	%	ppm	ppm	ppm	ppm	ppm	%	ppm	ppm	ppm	ppm	%	ppm	ppm	%	ppm	%	ppm	ppm	%	ppm	ppm	ppm	%	ppm	ppm	ppm	%	ppm	ppm	ppm	ppm	ppm
b001E	351576	1573507	<5	0.2	0.64	<2	<10	100	1.5	4	0.13	<0.5	20	58	27	11.05	40	3	0.07	20	0.20	1630	<1	0.03	7	170	18	0.01	4	5	<1	0.82	<10	200	375	10	257
b003E	351750	1573550	<5	<0.2	0.77	<2	<10	130	1.2	<2	0.11	<0.5	6	39	18	3.67	10	3	0.09	10	0.12	691	<1	0.04	3	70	12	<0.01	2	4	9	0.55	10	60	99	<10	79
b004E	351750	1573550	<5	<0.2	0.67	<2	<10	120	1.0	3	0.09	<0.5	6	34	5	3.44	10	2	0.08	10	0.11	630	<1	0.03	3	70	12	<0.01	5	4	8	0.45	<10	60	94	<10	75
b005E	352252	1577015	<5	<0.2	1.40	6	<10	290	0.7	<2	0.28	<0.5	6	15	8	2.45	10	7	0.19	20	0.22	477	<1	0.02	3	150	15	0.01	<2	3	35	0.04	<10	<10	49	<10	45
b006E	351798	1579298	<5	<0.2	1.79	6	<10	250	1.0	<2	0.49	<0.5	11	24	12	3.95	10	28	0.13	20	0.26	632	<1	0.02	7	410	12	0.01	<2	6	43	0.06	<10	20	98	<10	58
b007E	350914	1575036	57	<0.2	0.40	<2	<10	80	1.3	<2	0.07	<0.5	9	13	2	5.97	20	9	0.04	10	0.12	953	<1	0.01	2	110	17	<0.01	5	5	<1	0.76	<10	90	179	<10	130
b008E	350732	1575061	<5	<0.2	0.33	<2	<10	70	0.9	<2	0.08	<0.5	6	17	1	3.89	10	2	0.04	10	0.09	613	<1	0.02	2	70	9	<0.01	2	2	2	0.50	<10	40	117	<10	91
b009E	348961	1577363	<5	<0.2	0.67	<2	<10	220	0.7	<2	0.24	<0.5	5	6	3	2.70	10	1	0.07	10	0.17	357	<1	0.02	1	30	7	<0.01	<2	2	44	0.23	<10	10	84	<10	61
b010E	348846	1577651	<5	<0.2	1.25	<2	<10	70	0.8	<2	0.05	<0.5	4	14	5	2.37	10	2	0.02	<10	0.05	309	<1	0.01	1	60	7	<0.01	<2	3	3	0.37	<10	20	61	<10	31
b011E	347776	1577641	<5	<0.2	0.39	<2	<10	50	0.6	<2	0.04	<0.5	3	8	2	1.30	10	1	0.02	<10	0.04	298	<1	0.02	1	30	5	<0.01	2	1	5	0.25	<10	<10	35	<10	17
b012E	346119	1579987	<5	<0.2	0.52	<2	<10	70	0.6	<2	0.05	<0.5	6	21	3	4.10	10	1	0.06	10	0.11	540	<1	0.03	2	40	4	<0.01	<2	2	<1	0.30	<10	40	124	<10	80
b013E	352839	1575648	<5	<0.2	1.74	10	<10	200	0.8	<2	0.25	<0.5	17	11	12	3.68	20	<1	0.13	20	0.20	882	<1	0.01	6	440	12	<0.01	<2	5	15	0.01	<10	<10	54	<10	56
b014E	353186	1576224	<5	<0.2	1.17	9	<10	170	0.6	<2	0.24	<0.5	3	7	6	0.95	10	1	0.21	20	0.09	380	1	0.02	1	70	11	<0.01	<2	2	30	<0.01	<10	<10	13	<10	20
b015E	353186	1576224	<5	<0.2	1.24	8	<10	180	0.6	<2	0.26	<0.5	3	4	6	0.99	10	1	0.22	20	0.10	403	1	0.01	1	80	13	<0.01	<2	2	32	<0.01	<10	<10	13	<10	22
b016E	354710	1576817	<5	<0.2	1.61	<2	<10	100	0.5	<2	0.05	<0.5	7	7	14	2.87	10	1	0.07	10	0.07	462	<1	0.01	2	30	11	<0.01	<2	3	1	0.13	<10	60	105	<10	31
b017E	353103	1574990	<5	<0.2	1.19	2	<10	230	0.5	<2	0.12	<0.5	1	3	3	1.05	10	1	0.16	20	0.12	176	<1	0.02	1	30	9	<0.01	2	2	28	0.03	<10	<10	17	<10	20
b018E	352280	1575990	<5	<0.2	1.79	5	<10	240	0.6	<2	0.16	<0.5	5	12	8	1.80	10	<1	0.18	20	0.13	278	<1	0.02	2	100	11	<0.01	<2	3	29	0.02	<10	<10	28	<10	29
b019E	355340	1584163	<5	<0.2	1.19	<2	<10	220	1.0	<2	0.15	<0.5	6	20	5	2.94	20	6	0.17	10	0.13	752	<1	0.03	3	100	13	0.04	3	3	29	0.27	<10	60	78	<10	72
b020E	355301	1584276	<5	<0.2	1.98	<2	<10	170	0.8	<2	0.10	<0.5	3	8	8	2.40	10	1	0.12	10	0.07	307	<1	0.02	1	30	20	<0.01	2	5	20	0.24	<10	70	53	<10	25
b021E	352626	1584129	<5	<0.2	0.96	<2	<10	310	1.1	<2	0.23	<0.5	6	10	4	3.15	10	2	0.16	10	0.13	574	<1	0.04	2	110	15	<0.01	<2	6	39	0.53	10	70	91	<10	49
b022E	352792	1585555	<5	<0.2	0.48	<2	<10	140	1.0	<2	0.09	<0.5	7	7	1	5.12	20	1	0.06	10	0.14	790	<1	0.03	2	30	12	<0.01	2	4	3	0.44	<10	80	146	<10	140
b023E	355279	1588270	<5	<0.2	1.17	<2	<10	270	1.4	<2	0.19	<0.5	7	27	2	4.86	20	3	0.11	10	0.26	845	<1	0.03	2	40	11	<0.01	5	6	40	0.70	10	120	118	<10	129
b024E	355920	1586906	<5	<0.2	1.67	10	<10	360	1.1	<2	0.08	<0.5	4	5	8	2.32	10	<1	0.11	10	0.07	326	<1	0.01	1	30	12	0.01	14	4	19	0.17	<10	140	60	<10	35
b025E	355886	1586623	<5	<0.2	2.40	13	<10	170	1.1	<2	0.06	<0.5	6	4	15	2.34	20	1	0.11	20	0.06	582	<1	0.01	1	30	15	<0.01	11	4	9	0.11	10	160	58	<10	34
b026E	352384	1585829	<5	<0.2	0.43	<2	<10	180	1.6	4	0.06	0.8	16	19	1	13.00	40	3	0.04	20	0.23	1905	<1	0.03	3	20	27	<0.01	4	10	<1	0.78	<10	140	250	10	407
b027E	352560	1586722	<5	<0.2	0.19	<2	<10	70	2.3	<2	0.06	<0.5	5	8	<1	3.67	20	5	0.01	10	0.11	993	<1	0.01	1	160	23	<0.01	5	10	<1	1.41	10	60	69	<10	66
b029E	352553	1587149	<5	<0.2	1.13	21	<10	250	1.1	<2	0.12	<0.5	6	23	7	3.03	10	2	0.11	10	0.11	693	<1	0.01	3	170	17	0.03	7	4	11	0.35	<10	50	73	<10	60
b030E	352423	1587126	<5	<0.2	1.08	<2	<10	250	1.2	<2	0.07	<0.5	3	25	2	1.87	10	1	0.15	20	0.13	528	<1	0.04	1	30	12	<0.01	<2	5	19	0.40	<10	50	25	<10	49
b031E	352485	1587676	<5	<0.2	0.44	<2	<101370	2.0	<2	0.06	<0.5	4	10	<1	3.48	20	4	0.05	10	0.11	1115	<1	0.03	1	80	23	0.03	6	9	4	1.23	10	70	65	<10	66	
b032E	352559	1587635	<5	<0.2	0.97	<2	<10	240	1.0	<2	0.08	<0.5	3	11	3	1.12	10	1	0.08	20	0.06	295	<1	0.02	1	20	13	<0.01	3	3	18	0.20	<10	20	19	<10	28
b033E	351479	1587503	<5	<0.2	0.73	<2	<10	190	0.8	<2	0.17	<0.5	2	13	1	1.00	10	1	0.09	10	0.10	349	<1	0.03	1	20	6	<0.01	<2	3	13	0.19	<10	<10	13	<10	24
b034E	351514	1587684	<5	<0.2	0.74	<2	<10	230	0.9	<2	0.06	<0.5	3	13	3	1.22	10	1	0.07	10	0.07	504	<1	0.03	1	20	12	<0.01	<2	3	11	0.26	<10	20	21	<10	25
b035E	351332	1588011	<5	<0.2	0.95	<2	<10	230	0.9	<2	0.08	<0.5	2	17	3	1.10	10	1	0.09	10	0.07	373	<1	0.03	2	30	11	<0.01	2	3	16	0.21	<10	30	17	<10	25
b036E	351333	1588047	<5	<0.2	0.75	<2	<10	180	0.8	<2	0.07	<0.5	2	13	3	1.31	10	2	0.07	10	0.06	301	<1	0.03	1	30	11	<0.01	3	3	10	0.29	<10	30	25	<10	25
b037E	352864	1588108	<5	<0.2	0.99	<2	<10	530	0.8	<2	0.06	<0.5	2	9	3	0.99	10	<1	0.07	10	0.05	131	<1	0.01	1	20	13	0.01	<2	3	18	0.16	<10	50	18	<10	18
b038E	352897	1588113	<5	<0.2	0.80	<2	<10	210	1.2	<2	0.06	<0.5	3	11	2	1.71	10	2	0.07	10	0.07	390	<1	0.02	1	40	17	<0.01	4	5	13	0.56	<10	50	34	<10	29
b039E	353013	1587904	<5	<0.2	1.54	31	<10	170	1.0	<2	0.14	<0.5	6	17	9	2.70	10	1	0.13	10	0.11	571	<1	0.02	3	180	15	0.04	5	3	15	0.17	<10	40	59	<10	51
b040E	352950	1587786	<5	<0.2	0.51	<2	<10	140	1.6	<2	0.06	<0.5	4	1																							

F-2 化学分析結果一覽表(沢砂) Resultados de Analisis Quimicos (Alveos)

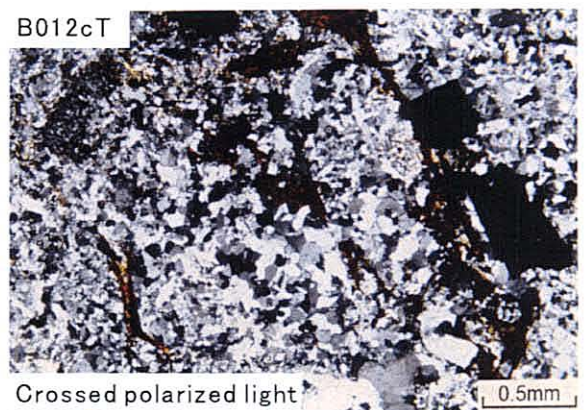
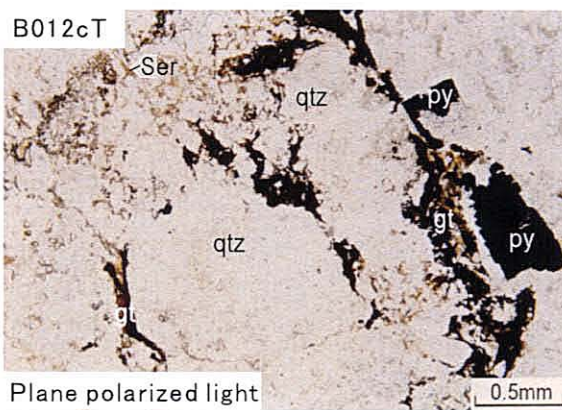
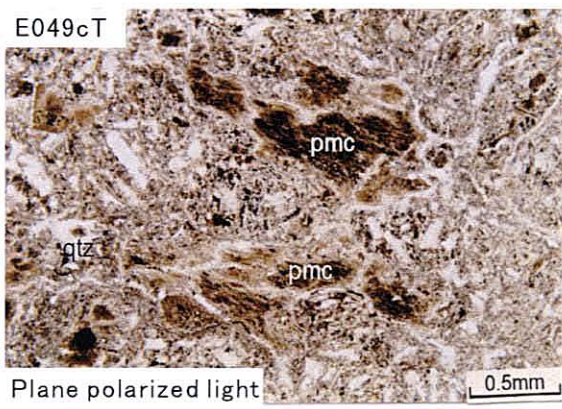
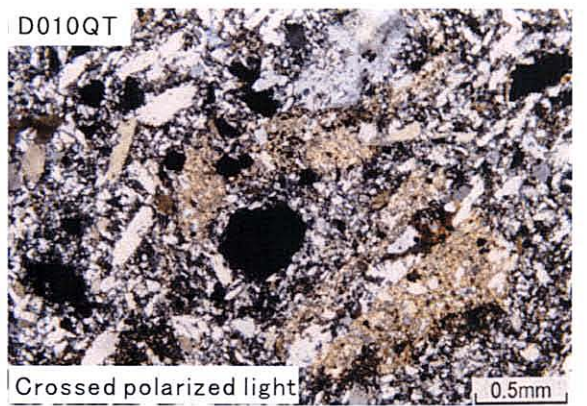
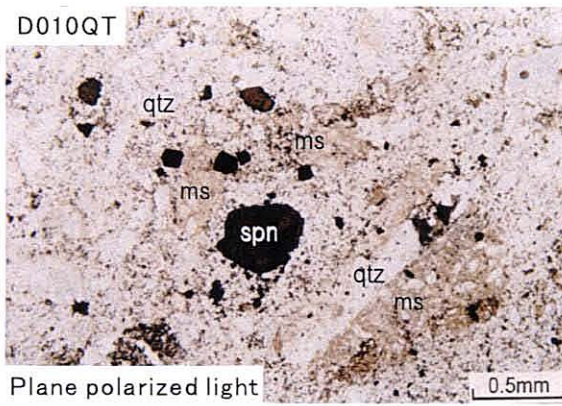
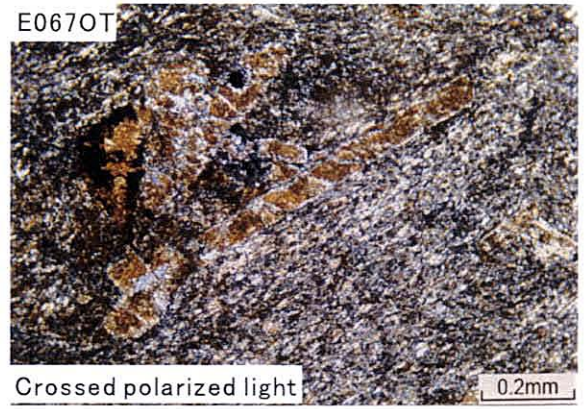
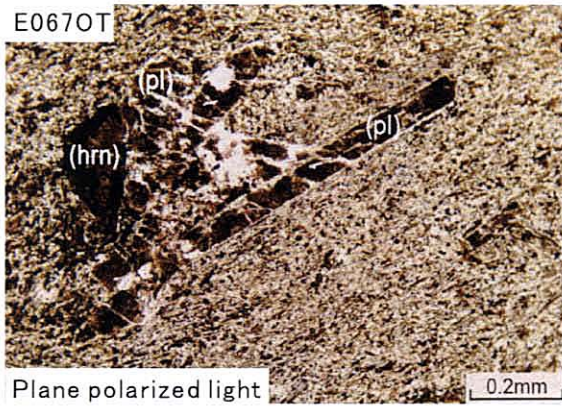
Sample	UTM(m)		Au	Ag	Al	As	B	Ba	Be	Bi	Ca	Cd	Co	Cr	Cu	Fe	Ga	Hg	K	La	Mg	Mn	Mo	Na	Ni	P	Pb	S	Sb	Sc	Sr	Ti	Tl	U	V	W	Zn
	E	N	ppb	ppm	%	ppm	ppm	ppm	ppm	ppm	%	ppm	ppm	ppm	ppm	%	ppm	ppm	%	ppm	%	ppm	ppm	%	ppm	ppm	ppm	%	ppm	ppm	ppm	%	ppm	ppm	ppm	ppm	ppm
d013E	353011	1586180	<5	<0.2	1.01	<2	<10	250	1.1	<2	0.12	<0.5	3	17	5	1.59	10	1	0.18	10	0.10	499	<1	0.04	1	60	18	<0.01	3	4	20	0.33	10	40	30	<10	32
d015E	351300	1584250	<5	<0.2	0.41	<2	<10	60	1.1	3	0.06	<0.5	14	27	2	6.91	20	2	0.04	10	0.14	976	<1	0.03	3	60	8	<0.01	2	3	<1	0.64	<10	110	238	<10	154
d016E	350507	1584026	<5	<0.2	0.73	<2	<10	170	0.9	<2	0.08	<0.5	5	25	3	2.68	10	<1	0.07	10	0.09	572	<1	0.02	2	50	11	<0.01	4	4	7	0.36	<10	50	68	<10	60
d017E	351006	1583486	<5	<0.2	0.58	<2	<10	110	1.3	<2	0.06	<0.5	7	22	2	4.22	20	3	0.06	10	0.10	818	<1	0.03	2	60	15	<0.01	3	5	1	0.70	10	70	115	<10	91
d018E	351006	1583486	<5	<0.2	0.56	<2	<10	120	1.4	<2	0.06	<0.5	7	31	2	4.60	20	2	0.06	10	0.11	879	<1	0.03	3	70	16	<0.01	4	5	<1	0.75	<10	90	126	<10	100
d020E	351100	1583500	<5	<0.2	0.70	<2	<10	170	0.9	<2	0.14	<0.5	4	18	3	2.34	10	1	0.12	10	0.11	472	<1	0.05	2	60	9	<0.01	2	3	20	0.32	<10	30	60	<10	55
d021E	350683	1584515	<5	<0.2	0.42	<2	<10	60	1.1	3	0.07	<0.5	14	41	6	8.15	30	2	0.05	10	0.14	1120	<1	0.06	4	70	8	<0.01	<2	2	<1	0.65	<10	130	287	10	178
d023E	350642	1584852	<5	<0.2	0.95	10	<10	170	0.6	<2	0.10	<0.5	3	14	5	1.32	10	1	0.09	10	0.08	329	<1	0.03	2	60	9	0.01	<2	2	14	0.07	<10	10	24	<10	30
d024E	350642	1585263	<5	<0.2	0.54	<2	<10	90	1.0	<2	0.09	<0.5	7	27	2	4.20	20	2	0.05	10	0.12	695	<1	0.04	2	70	8	<0.01	2	3	5	0.53	<10	60	130	<10	98
d025E	357011	1587559	<5	<0.2	1.63	<2	<10	240	1.0	<2	0.11	<0.5	3	6	6	1.52	20	1	0.21	10	0.15	801	<1	0.02	1	20	18	<0.01	3	5	28	0.30	<10	120	25	<10	42
d026E	356302	1587120	<5	<0.2	1.00	<2	<10	140	1.3	2	0.06	<0.5	10	24	6	4.54	10	2	0.11	20	0.15	667	<1	0.02	2	50	14	<0.01	5	4	1	0.60	<10	170	178	<10	72
d027E	356150	1587008	<5	<0.2	1.45	2	<10	270	0.9	<2	0.11	<0.5	6	10	7	1.94	10	<1	0.17	10	0.11	404	<1	0.02	1	20	13	<0.01	5	3	44	0.14	10	120	54	<10	45
d028E	355956	1586796	<5	<0.2	2.17	14	<10	1060	1.1	<2	0.09	<0.5	4	18	9	2.28	10	<1	0.13	20	0.10	416	<1	0.02	2	40	13	0.02	9	4	36	0.15	<10	130	51	<10	40
e002E	343464	1587766	<5	<0.2	1.92	<2	<10	60	1.7	<2	0.02	<0.5	9	22	7	5.50	20	4	0.03	10	0.11	721	<1	0.01	3	40	18	<0.01	5	11	<1	1.01	10	240	193	<10	86
e003E	343464	1587766	<5	<0.2	1.89	<2	<10	60	1.8	<2	0.02	<0.5	9	37	7	5.60	20	3	0.03	10	0.11	748	<1	0.01	4	50	18	<0.01	5	11	<1	1.05	10	250	195	<10	87
e005E	343591	1585916	<5	<0.2	1.93	<2	<10	70	2.1	3	0.05	<0.5	17	25	7	10.35	40	5	0.03	20	0.20	1575	1	0.02	5	110	20	<0.01	4	10	<1	1.25	10	290	338	10	221
e006E	341336	1585303	<5	<0.2	2.14	<2	<10	70	1.9	4	0.05	2.2	31	30	10	15.00	60	3	0.02	20	0.28	2120	<1	0.01	7	90	18	<0.01	4	9	<1	1.11	<10	340	527	10	352
e007E	342922	1586571	<5	<0.2	0.96	<2	<10	60	1.2	2	0.02	<0.5	10	12	5	5.66	20	2	0.03	10	0.11	710	<1	0.01	3	40	20	<0.01	<2	7	<1	0.53	<10	170	180	<10	109
e008E	340293	1583590	<5	<0.2	0.59	<2	<10	100	1.1	<2	0.03	<0.5	7	16	2	4.29	20	2	0.05	10	0.10	979	<1	0.01	2	40	21	<0.01	2	4	<1	0.50	<10	80	115	<10	113
e009E	340175	1583522	<5	<0.2	1.48	<2	<10	160	1.0	<2	0.09	<0.5	8	16	7	4.23	20	1	0.09	10	0.13	1005	<1	0.02	2	40	20	<0.01	4	4	7	0.33	<10	110	122	<10	95
e010E	340540	1583188	<5	<0.2	1.52	<2	<10	120	1.1	<2	0.04	<0.5	14	97	22	5.96	20	1	0.06	10	0.12	723	<1	0.01	12	60	15	<0.01	3	8	<1	0.37	<10	160	256	<10	97
e011E	340532	1583188	<5	<0.2	0.27	<2	<10	120	0.9	3	0.02	<0.5	14	20	4	11.15	40	1	0.05	10	0.12	2030	<1	0.02	4	10	12	<0.01	<2	3	<1	0.40	<10	40	198	10	247
e012E	340392	1583126	<5	<0.2	0.95	<2	<10	130	1.0	<2	0.05	<0.5	8	14	4	4.42	20	2	0.07	10	0.12	954	<1	0.01	3	40	15	<0.01	<2	4	2	0.43	<10	80	124	<10	109
e013E	340346	1582350	<5	<0.2	1.04	<2	<10	150	0.5	<2	0.06	<0.5	7	19	6	3.52	10	<1	0.09	10	0.12	732	1	0.02	3	40	13	<0.01	<2	4	11	0.36	<10	<10	102	<10	88
e014E	340346	1582350	<5	<0.2	1.03	<2	<10	150	0.5	<2	0.06	<0.5	6	17	5	3.12	10	<1	0.09	10	0.12	661	<1	0.02	2	30	12	<0.01	<2	4	11	0.32	<10	<10	91	<10	77
e016E	338926	1580470	<5	<0.2	0.95	<2	<10	310	0.8	<2	0.24	0.5	32	30	14	10.35	20	<1	0.12	10	0.22	2050	1	0.03	10	70	14	<0.01	<2	7	55	0.64	<10	<10	396	<10	198
e017E	339188	1581184	<5	<0.2	1.66	<2	<10	180	0.6	<2	0.13	<0.5	15	16	12	6.42	10	<1	0.07	10	0.19	1200	1	0.02	4	70	16	<0.01	<2	6	19	0.66	<10	<10	272	<10	119
e018E	339136	1581254	<5	<0.2	1.20	<2	<10	150	0.6	<2	0.10	0.6	17	19	8	7.75	10	<1	0.05	10	0.16	1265	1	0.02	5	50	24	<0.01	<2	6	17	0.69	10	<10	327	<10	137
e019E	339698	1581917	<5	<0.2	0.40	3	<10	90	<0.5	<2	0.05	<0.5	2	11	1	1.37	<10	<1	0.07	20	0.04	629	1	0.03	1	40	15	<0.01	<2	2	6	0.10	10	10	23	<10	83
e021E	345065	1586565	<5	<0.2	1.15	<2	<10	160	0.7	<2	0.05	<0.5	5	12	5	3.03	10	<1	0.06	10	0.08	528	<1	0.02	2	30	14	<0.01	<2	6	8	0.35	10	<10	78	<10	58
e022E	345050	1586228	<5	<0.2	0.81	<2	<10	90	0.7	<2	0.05	<0.5	16	17	7	9.16	20	<1	0.03	<10	0.16	1340	1	0.01	5	70	10	<0.01	<2	7	4	0.83	10	<10	317	<10	178
e024E	345524	1585750	<5	<0.2	0.46	<2	<10	90	0.5	<2	0.08	0.5	15	14	2	8.39	10	<1	0.04	<10	0.15	1235	1	0.02	5	70	8	<0.01	<2	3	17	0.66	<10	<10	291	<10	178
e026E	345500	1584926	<5	<0.2	0.74	<2	<10	130	<0.5	<2	0.08	<0.5	6	10	3	3.44	10	<1	0.07	10	0.11	596	<1	0.02	2	20	7	<0.01	<2	3	16	0.31	<10	<10	103	<10	73
e027E	345481	1584925	<5	<0.2	0.39	<2	<10	60	0.6	<2	0.09	<0.5	17	18	3	9.64	20	<1	0.03	<10	0.16	1365	<1	0.02	5	140	8	<0.01	<2	4	17	1.00	<10	<10	323	<10	187
e028E	345708	1583184	<5	<0.2	0.28	<2	<10	50	0.5	<2	0.05	1.0	24	21	2	14.60	20	<1	0.02	<10	0.18	1895	<1	0.02	5	120	4	<0.01	<2	3	4	1.00	10	<10	506	<10	303
e029E	345701	1583191	<5	<0.2	0.30	<2	<10	50	<0.5	<2	0.06	<0.5	10	20	1	5.77	10	<1	0.04	<10	0.11	905	<1	0.04	2	90	5	<0.01	<2	2	7	0.73	<10	<10	186	<10	118
e030E	345784	1582701	<5	<0.2	0.58	<2	<10	100	<0.5	<2	0.09	<0.5	6	16	4	2.58	10	<1	0.05	<10	0.10	410	1	0.03	3	30	3	<0.01	<2	3	17	0.29	<10	<10	77	<10	58
e031E	345799	1582311																																			

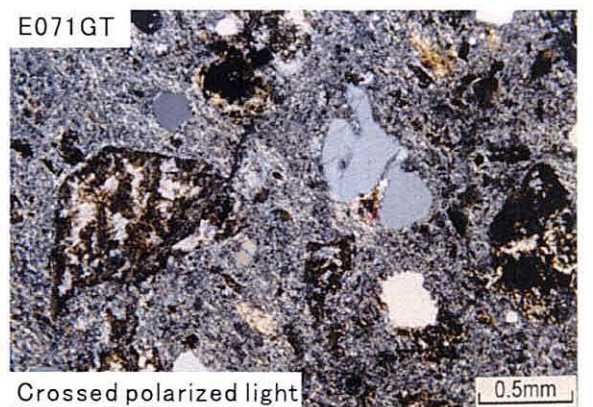
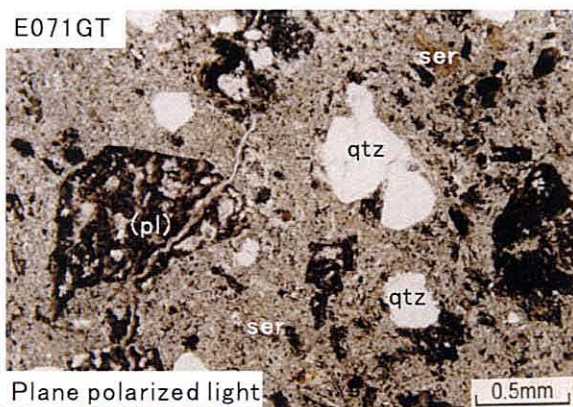
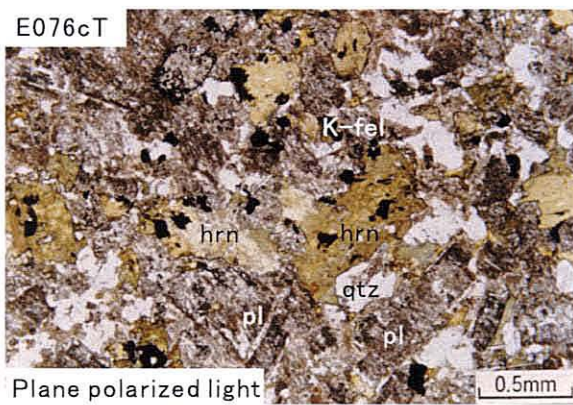
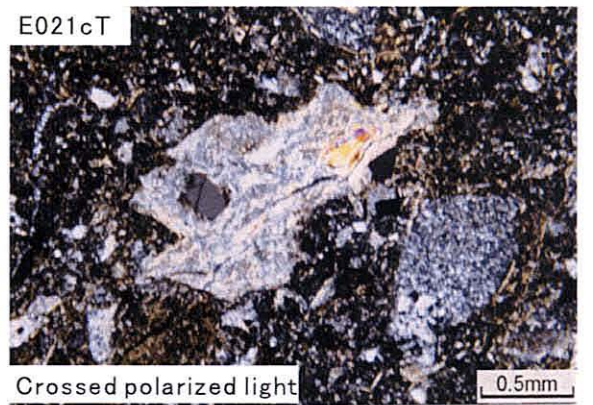
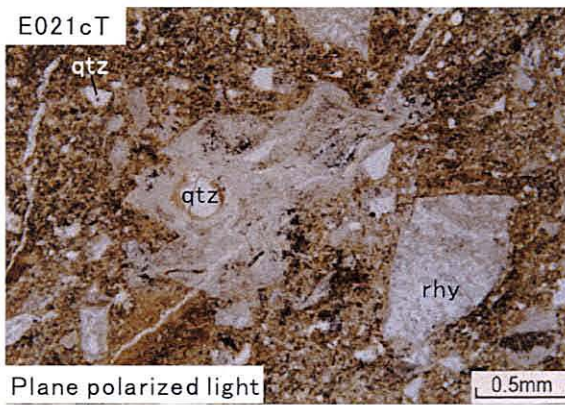
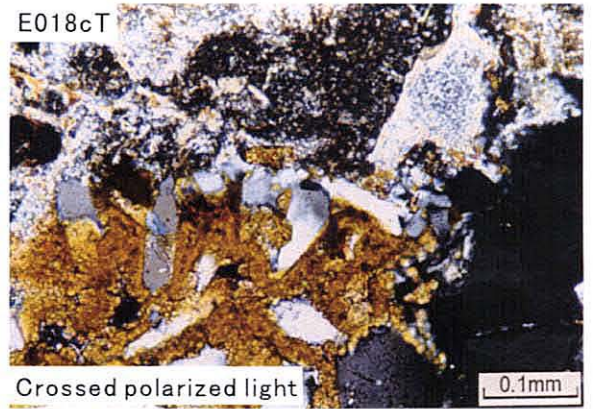
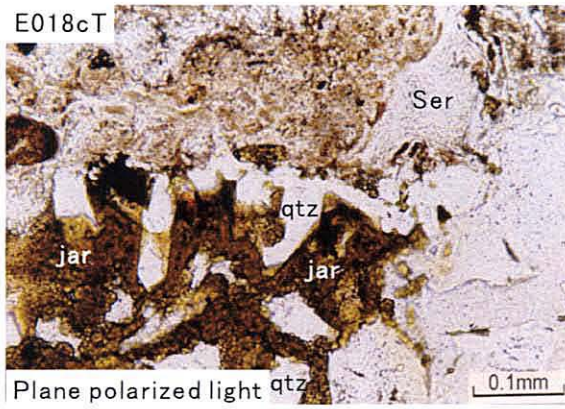
G Resultados de Análisis Químicos (Alveos de Bateado)

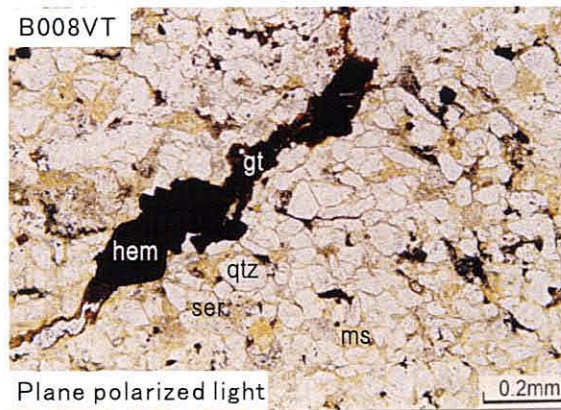
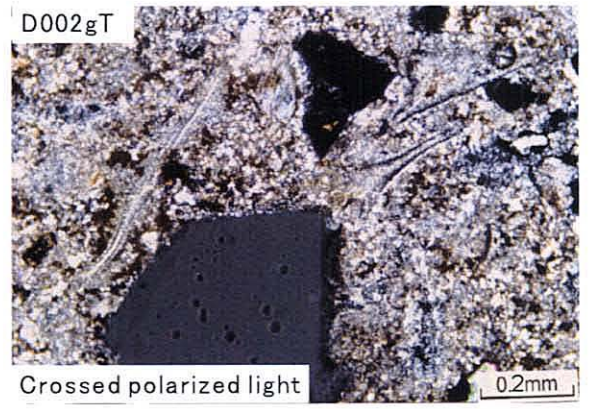
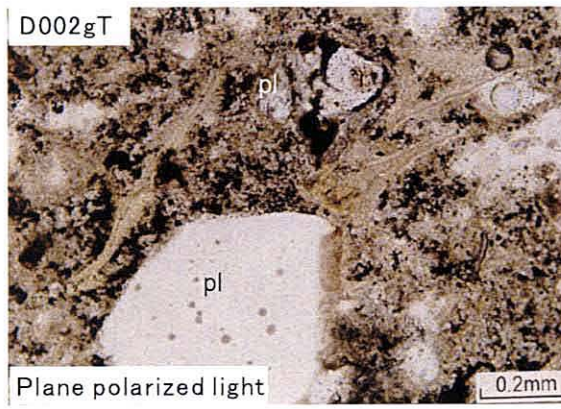
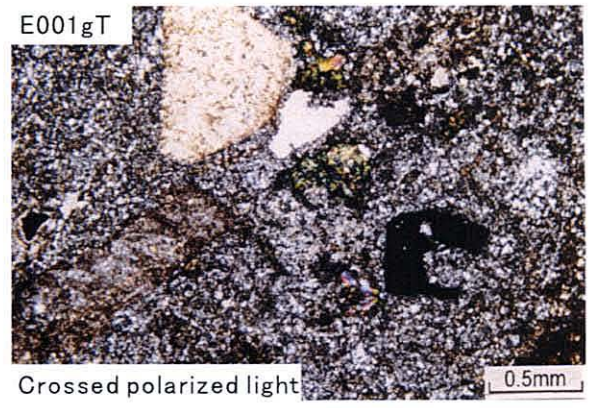
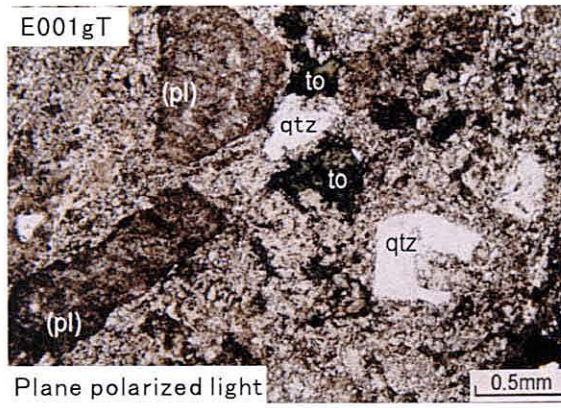
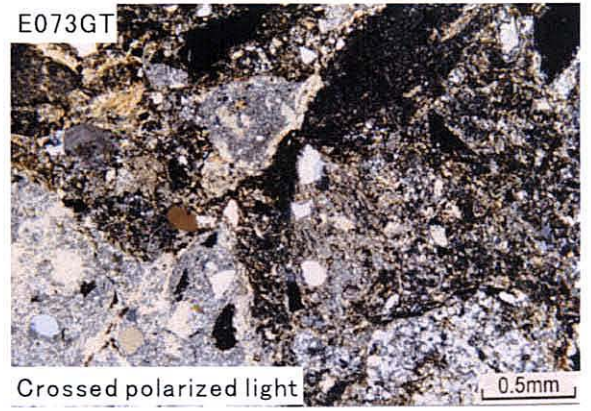
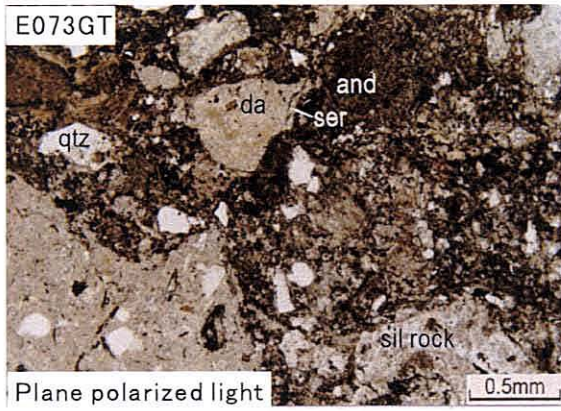
G 化学分析結果一覧表(パンニング試料) Resultados de Analisis Quimicos (Alveos de Bateado)

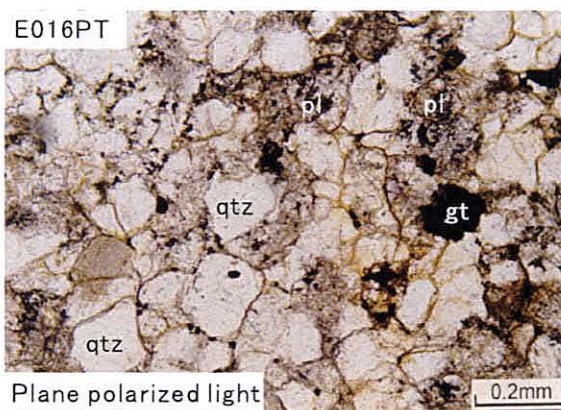
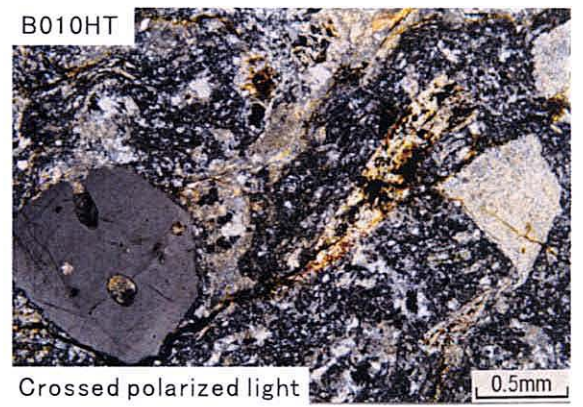
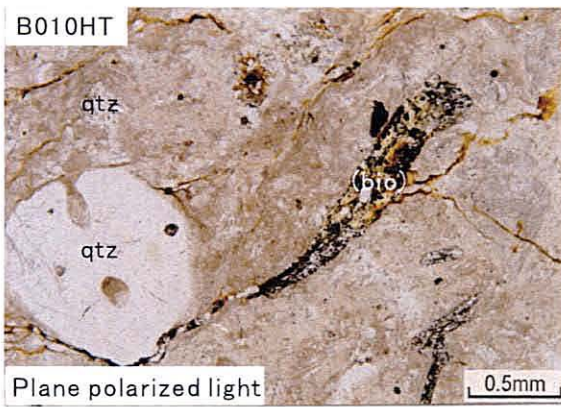
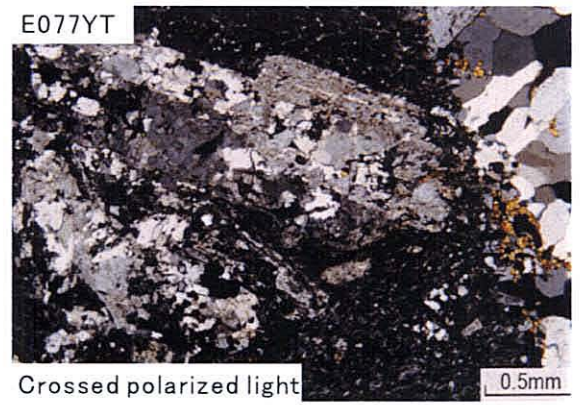
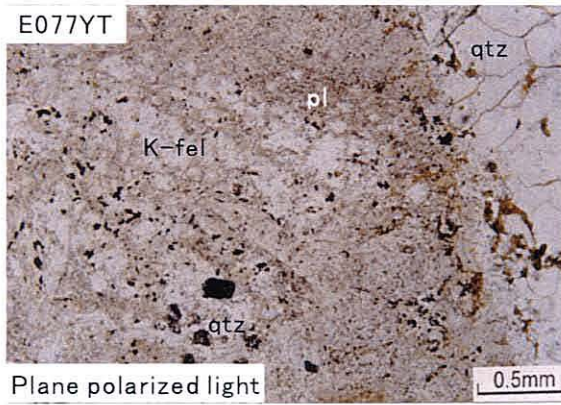
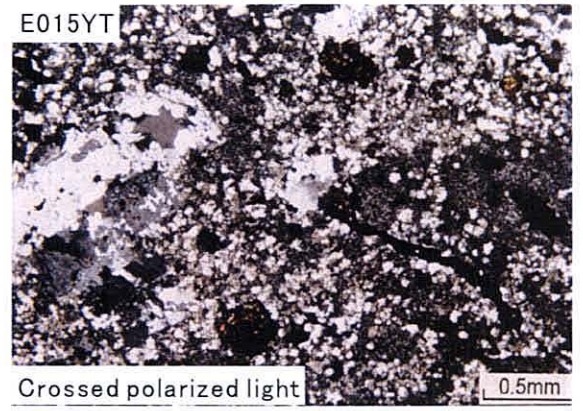
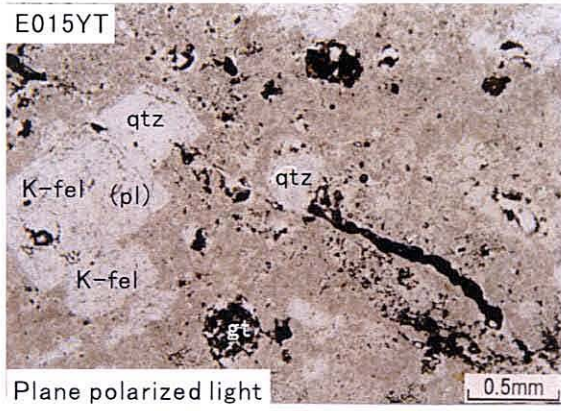
Sample	UTM(m)		Au	Ag	Al	As	B	Ba	Be	Bi	Ca	Cd	Co	Cr	Cu	Fe	Ga	Hg	K	La	Mg	Mn	Mo	Na	Ni	P	Pb	S	Sb	Sc	Sr	Ti	Tl	U	V	W	Zn
	E	N	ppb	ppm	% ppm	ppm	ppm	ppm	ppm	ppm	% ppm	ppm	ppm	ppm	ppm	% ppm	ppm	ppm	% ppm	ppm	% ppm	ppm	ppm	% ppm	ppm	ppm	ppm	% ppm	ppm	ppm	ppm	% ppm	ppm	ppm	ppm	ppm	ppm
b002E	351576	1573507	<5	<0.2	0.19	<2	30	10	1.5	<2	0.04	<0.5	8	37	2	5.72	10	3	<0.01	10	0.10	751	2	0.01	3	130	15	0.01	<2	8	<1	1.04	<10	140	204	<10	80
b028E	352560	1586722	5	<0.2	0.29	<2	20	50	1.4	10	0.04	<0.5	26	30	3	>15.00	50	1	0.01	20	0.16	2210	5	0.01	5	120	44	<0.01	2	5	<1	0.88	<10	200	388	10	408
b053E	355870	1583905	<5	<0.2	0.23	<2	20	10	1.2	4	0.06	<0.5	15	18	2	9.6	20	2	<0.01	10	0.14	1190	3	0.01	4	240	14	0.01	<2	5	<1	0.81	<10	170	316	10	192
d009E	354914	1586771	<5	<0.2	0.28	<2	20	30	1.4	10	0.05	0.7	29	25	2	>15.00	50	<1	0.01	20	0.19	2320	5	0.01	6	190	10	<0.01	<2	3	<1	0.90	<10	270	588	10	399
d014E	353011	1586180	<5	1.0	0.30	13	<10	60	1.4	<2	0.10	2.7	19	33	5	>15.00	20	6	0.01	<10	0.18	2470	1	0.01	6	400	20	0.02	5	6	16	1.05	<10	<10	639	<10	424
d019E	351006	1583486	<5	1.2	0.27	7	<10	60	1.5	<2	0.05	1.9	7	24	3	14.05	20	2	0.01	<10	0.22	2300	1	0.01	4	210	53	<0.01	4	10	13	1.12	<10	<10	376	<10	435
d022E	350683	1584515	<5	1.2	0.27	6	<10	40	1.3	<2	0.05	0.8	9	111	3	7.18	10	11	0.03	<10	0.13	1550	1	0.02	9	170	17	<0.01	3	6	9	0.98	<10	<10	314	<10	214
e004E	343464	1587766	<5	1.4	0.15	2	<10	510	1.3	<2	0.05	<0.5	3	29	2	2.78	<10	<1	0.02	<10	0.07	653	<1	0.02	2	180	27	0.02	3	6	6	0.99	<10	<10	83	<10	42
e015E	340346	1582350	<5	1.0	0.19	7	<10	80	1.1	<2	0.05	<0.5	7	34	2	6.10	10	2	0.02	<10	0.09	973	<1	0.01	3	170	13	0.01	4	4	8	0.76	<10	<10	216	<10	137
e023E	345050	1586228	<5	1.0	0.31	9	<10	50	1.2	<2	0.05	3.2	19	30	2	>15.00	40	<1	0.01	<10	0.19	2610	1	0.01	6	210	4	<0.01	<2	4	18	1.04	<10	<10	719	<10	447
e041E	344114	1578338	<5	1.0	0.31	6	<10	50	1.3	<2	0.08	1.5	15	28	4	13.05	20	5	0.03	<10	0.16	1855	2	0.01	5	290	15	0.01	5	5	16	0.89	<10	<10	500	<10	322
e048E	342533	1577321	<5	1.2	0.10	6	<10	40	1.5	<2	0.07	0.7	3	26	1	2.76	<10	<1	0.01	<10	0.07	716	1	0.01	1	300	17	0.01	<2	6	5	1.07	<10	<10	71	<10	48
e060E	342535	1574695	<5	1.3	0.15	2	<10	50	1.4	<2	0.04	0.6	4	26	2	3.13	<10	<1	0.02	<10	0.07	1185	<1	0.01	2	120	60	<0.01	<2	7	5	0.99	<10	<10	89	<10	56

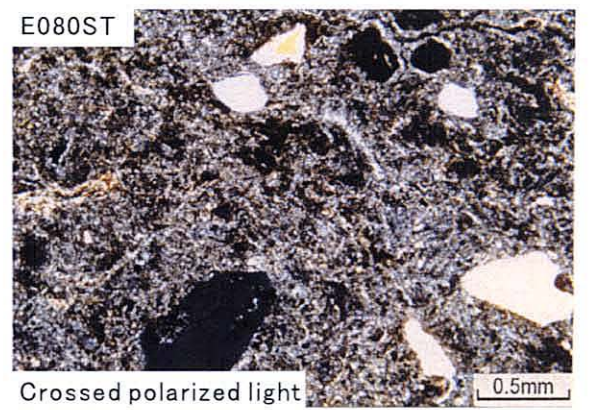
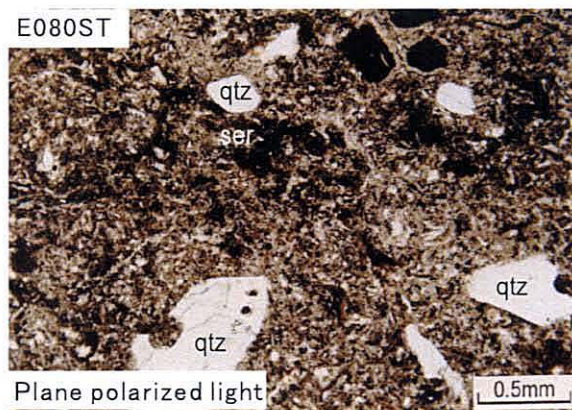
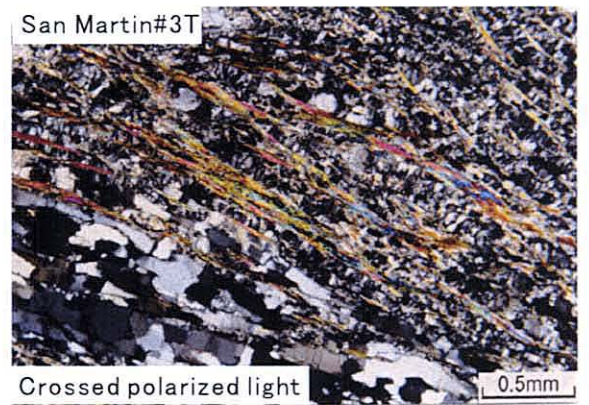
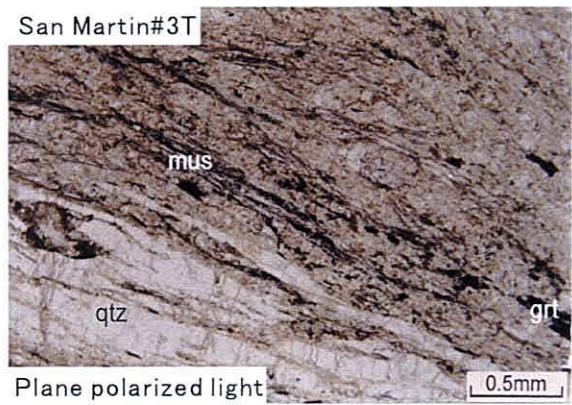
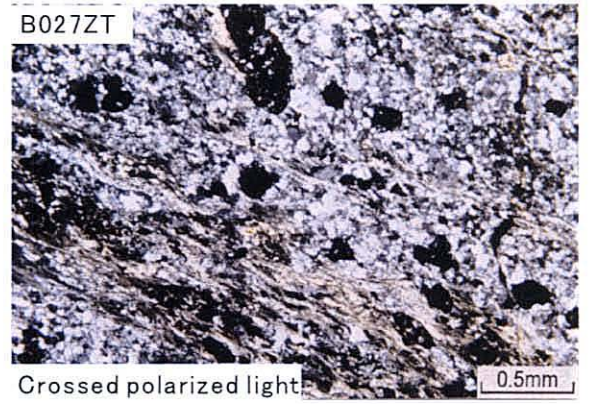
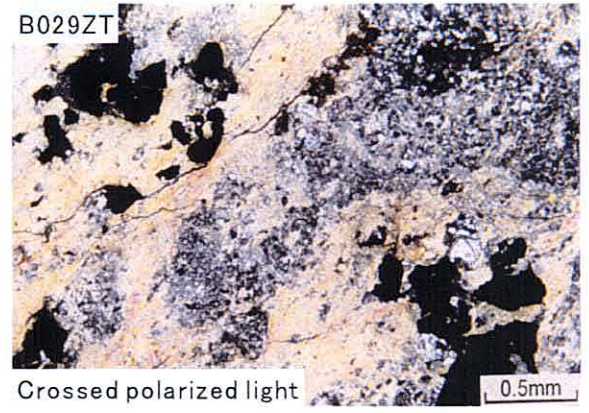
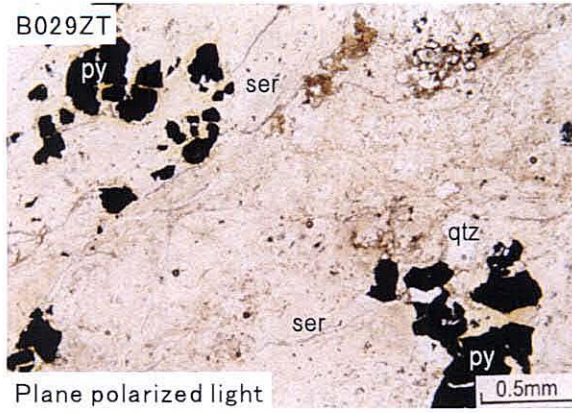
H Resultados de Estudios Petrográficos

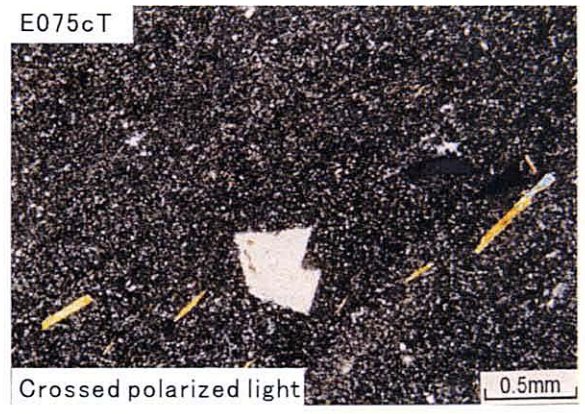
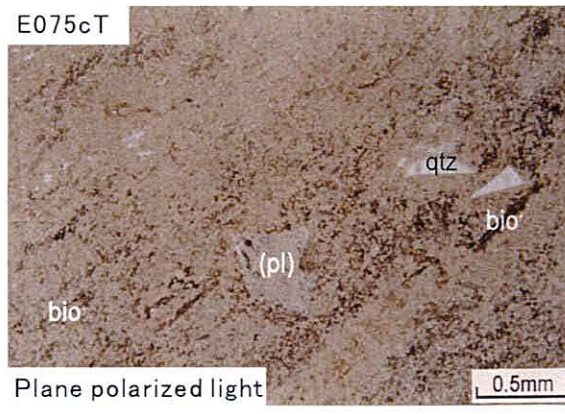
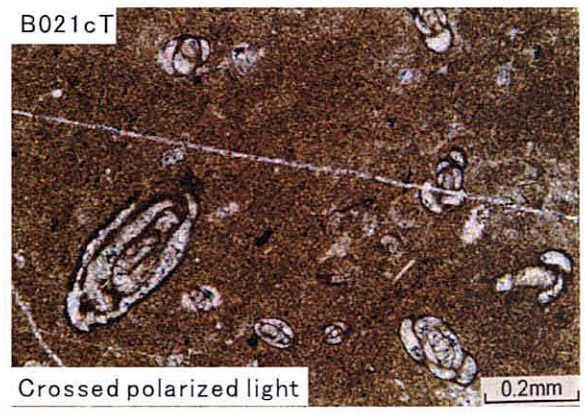
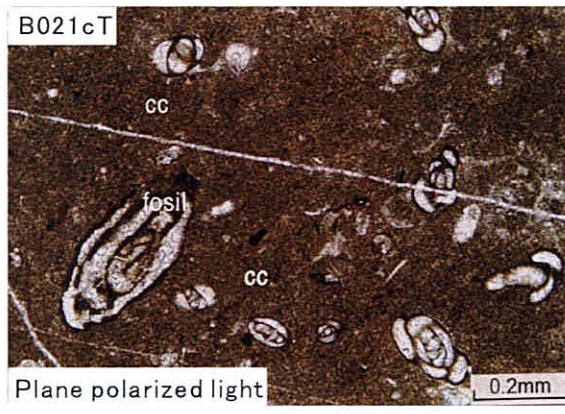
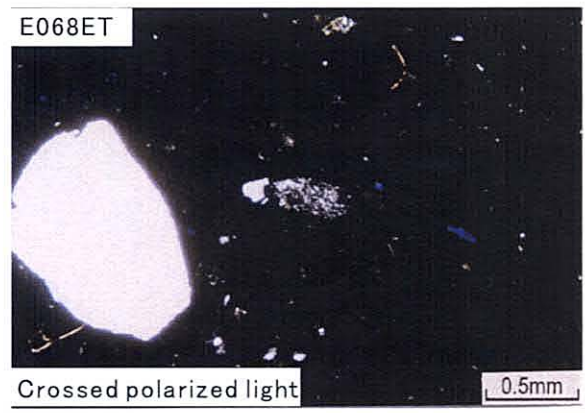
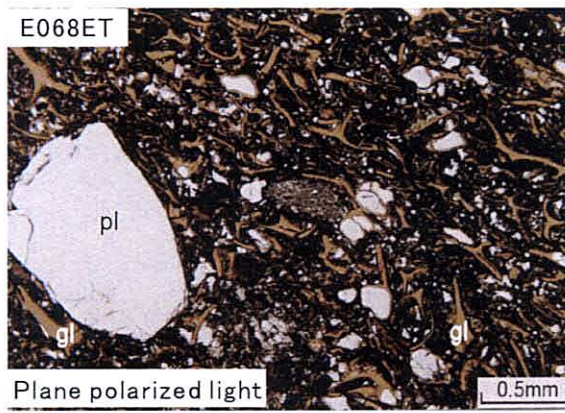
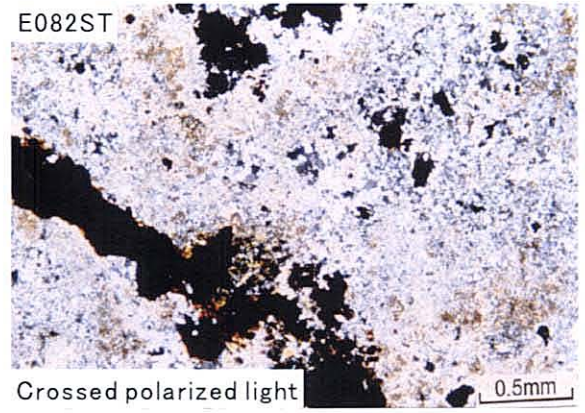
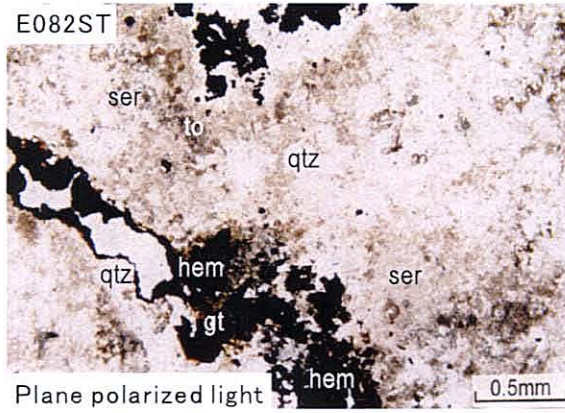










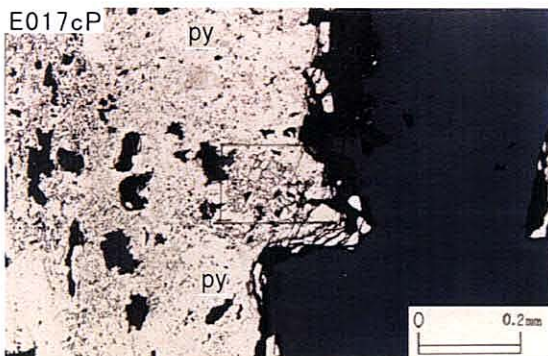
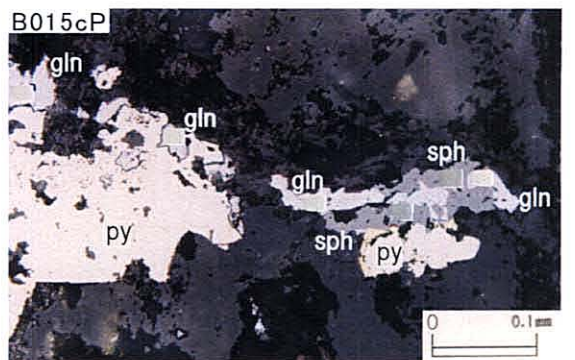
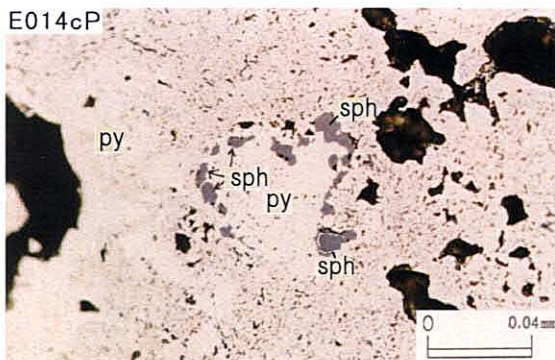
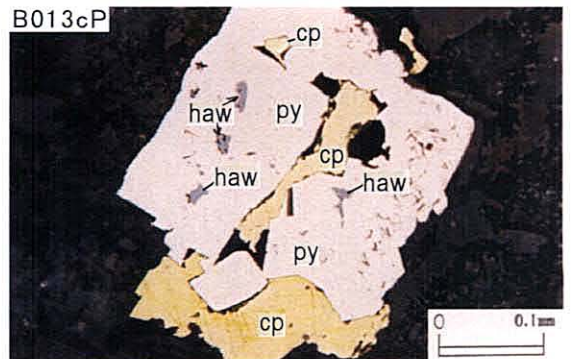
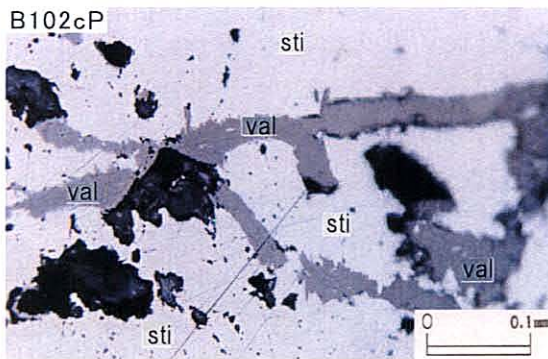
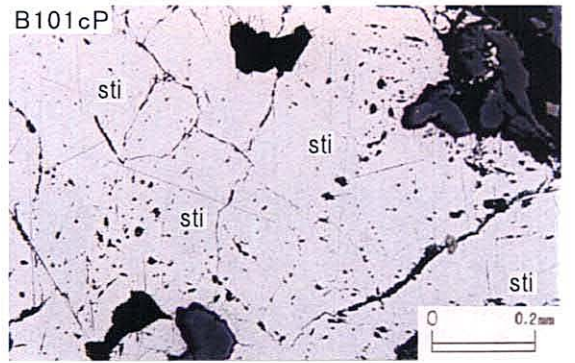
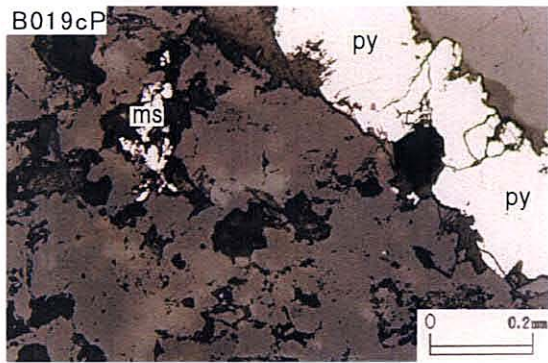
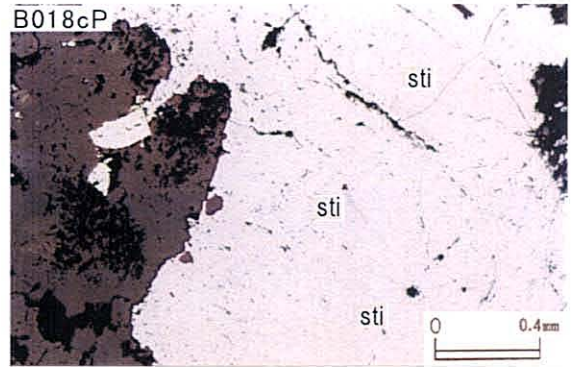
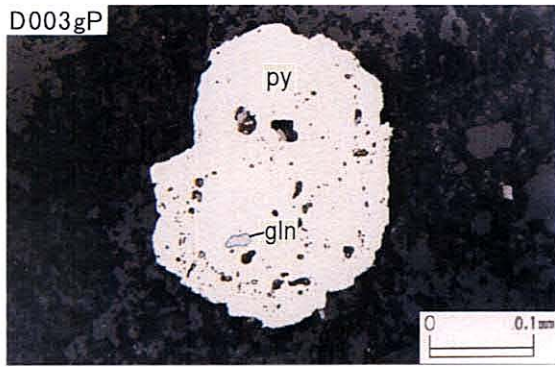


I Resultados de Calcograficos

I 鉱石研磨片検鏡結果一覧表 Resultados de Calcograficos

地区名 Sector	鉱物名 番号	鉱物名														備考 Nota
		Cu ₂ S 輝銅鉱	CuFeS ₂ 黄銅鉱	PbS 方鉛鉱	ZnS 閃亜鉛鉱	Bi ₂ S ₃ 輝蒼鉛鉱	CdS 方硫カドミウム鉱	Sb ₂ S ₃ 輝安鉱	Sb ₂ O ₃ バレンチン鉱	FeS ₂ 黄鉄鉱	FeS ₂ 白鉄鉱	Fe _{1-x} S 磁鉄鉱	Fe ₂ O ₃ 赤鉄鉱	FeO(OH) 針鉄鉱	TiO ₂ ルチル	
Guasucaran	D003gP			・					○		・			△		Rio La Sonta(W)
Comayagua	B018cP							○		・						Coyolito
	B019cP								△	・					・	Coyolito
	B101cP							△		△	△				・	Coyolito
	B102cP							◎	△	・						Coyolito
	B013cP	・	・		・	・	・			△						El Playon
	B014cP				・					◎				△		El Playon
	B015cP		・	・	・					△	・					El Playon
	E017cP				△	・				◎			△	△		Tepanguare

凡例 ◎: Abundante多量 ○: Medio中量 △: Poco少量 ∙: Escaso微量



cp:黄銅鉱calcopirita
 gln:方鉛鉱galena
 haw:方硫カドミウム鉱hawleyita
 ms:白鉄鉱marcacita
 py:黄鉄鉱pirita
 sph:閃亜鉛鉱esfalerita
 stil:輝安鉱antimonita
 val:バレンチン鉱valentinita

J Resultados de Análisis de Difracción de Rayos X

J 粉末X線回折結果一覽表 Resultados de Analisis de Difraccion de Rayos X

地区名 Sector	試料名 Muestra	UTM		岩相Roca	Silice 石英Cuarzo	Feldespato			Mineral de arcilla						Sulfate 石膏Yeso	Ceolita 斜ブチロル沸石 Clinoptilolita	Mafico 緑れん石 Epidoto	Mineral de metalica 黄鉄鉱Pirita	Carbonato 方解石Calcita	備考Remarks
		Este(m)	Norte(m)			カリ長石 Feldespato potasico	斜長石 Plagioclasa	ディッカイト dickita	カオリナイト Caolinita	ハロイサイト Halloysita	セリサイト Sericita	スメクタイト Smectita	緑泥石Clorita							
Guasucaran	E003 g X	462911	1524442	red s-arg tf	○			◎				△						Rio La Sonta(E)		
	E005 g X	462681	1524545	red arg tf	○			◎				△						Rio La Sonta(E)		
	E007 g X	462483	1524581	red arg tf	◎		•					○						Rio La Sonta(E)		
	E008 g X	462216	1524554	wht s-arg tf	◎					•								Rio La Sonta(E)		
	E009 g X	462000	1524601	red arg tf	◎		•											Rio La Sonta(E)		
	B004 g X	462417	1525210	m-sil lptf	○							◎						Rio La Sonta(N)		
	B005 g X	462663	1525655	m-w-sil lptf	◎							△						Rio La Sonta(N)		
	D001 g X	461835	1524796	wht clay (arg limo)	◎					△		△						Rio La Sonta(W)		
	D002 g X	461051	1524398	wht alt da?-lptf	◎			•				•						○	Rio La Sonta(W)	
	D003 g X	461796	1524491	qtz cc v with py	•													◎	Rio La Sonta(W)	
	D005 g X	460368	1524524	alt and including chl	○			◎				△	△			△			Rio La Sonta(W)	
	B007 g X	460282	1525653	and-lptf w-arg w-chl	◎		△						△							
	D006 g X	460200	1522100	tf including chl	◎	○							△							
D007 g X	461400	1522563	da-tf including chl	◎	○						△	△								
E010 g X	460289	1524531	w-chloritized and with ep	◎			○					?				△				
Comayagua	E054 c X	421561	1579090	m-arg tf	◎	△						△						Chanton(S)		
	E057 c X	421561	1579090	m-arg tf	◎							△	△					Chanton(S)		
	E060 c X	421561	1579090	m-arg tf	○				◎	△		△						Chanton(S)		
	E063 c X	421561	1579090	m-arg tf	○							△	◎					Chanton(S)		
	E064 c X	421561	1579090	sil v	◎							△						Chanton(S)		
	E065 c X	421561	1579090	sil v	◎	△						△	△					Chanton(S)		
	B019 c X	418368	1587344	py imp quartzite or sil ss	◎							△					△	Coyolito		
	E020 c X	421908	1586546	sil rock	◎							△								
	E025 c X	421910	1586397	sil rock v	◎							△								
E047 c X	421055	1580477	yel-grn arg tf				○								◎					
Erandique	B025 E X	351536	1573702	arg v 10cm-w	○			◎												
	D011 E X	356623	1587839	calcedony v 5cm-w								◎								
	D012 E X	356492	1587692	sil rock		◎														

凡例 ◎: Abundante多量 ○: Medio中量 △: Poco少量 •: Escaso微量

K Resultados de Medición de Temperatura en Inclusiones Fluidas

K 流体包有物測定結果表 Resultados de Medicion de Temperatura en Inclusiones Fluidas

Muestra (Sector)	E072GF Guasucaran El Plomo		D003GF Guasucaran Rio La Sonta(W)		B018CF Comayagua Coyolito		E074CF Comayagua Near Tepanguare		B024CF Comayagua		E031CF La Chacra		E035CF La Chacra		E038CF La Chacra		E078YF Yuscaran Mata de Platano	
Mineral	Cuarzo		Calcita		Cuarzo		Cuarzo		Cuarzo		Cuarzo		Cuarzo		Cuarzo		Cuarzo	
Numero de inclusiones	20	12	11	9	3	3	15	12	18	10	15	12	23	17	15	10	20	14
Minimo Th°C/wt%	259.9	0.2	141.9	0.0	151.0	0.7	141.5	0.5	144.4	0.7	176.1	4.2	186.0	6.0	168.9	6.2	216.3	0.0
Maximo Th°C/wt%	334.7	1.3	192.1	0.4	165.6	2.0	244.1	2.6	195.5	3.2	223.1	8.1	232.9	14.5	212.7	10.7	292.8	0.8
Medio Th°C/wt%	301.4	0.6	161.7	0.2	158.3	1.2	186.7	1.2	175.8	1.4	193.8	4.9	201.5	9.1	185.6	8.0	235.1	0.3
Temperatura (Th°C) and Concentracion de Sales (wt%NaCl eq.)	(Th°C)	(wt%)	(Th°C)	(wt%)	(Th°C)	(wt%)	(Th°C)	(wt%)	(Th°C)	(wt%)	(Th°C)	(wt%)	(Th°C)	(wt%)	(Th°C)	(wt%)	(Th°C)	(wt%)
1	259.9	0.4	156.1	0.3	151.0	2.0	141.5	0.8	144.4		176.1	4.9	186.0		168.9	8.2	216.3	0.8
2	264.2	0.7	149.9	0.0	158.3	0.9	162.0	0.7	160.2	1.4	176.2	4.8	186.9	14.2	170.5	8.4	216.4	0.7
3	271.3	0.5	141.9	0.0	165.6	0.7	163.6	1.3	160.6		178.8	5.0	191.4		171.6	8.1	219.4	
4	275.5	0.7	154.2	0.3			163.7		166.0	0.8	179.7	4.8	191.7	6.7	175.8	6.2	221.1	0.7
5	283.2	0.5	179.5	0.2			165.3		172.7		180.5		191.7	6.3	179.1	9.3	221.7	
6	286.3		158.9	0.3			167.6	0.8	175.2	3.0	181.6	4.4	192.2		180.0	6.8	222.3	
7	289.0		159.1	0.4			169.0	1.0	176.1	1.3	182.2	4.2	192.2	6.0	180.1	7.2	224.9	0.4
8	295.6	0.4	192.1	0.4			175.9	0.8	176.2	0.8	186.8	4.3	192.8	6.3	180.7	7.9	229.1	
9	296.2	1.3	154.8				185.8	2.1	177.1		195.9	4.2	193.2	8.1	186.1	7.4	233.2	0.2
10	300.2	0.8	168.7				187.5	1.4	179.1		197.7	4.2	194.4	13.8	187.6		233.5	0.0
11	306.9	0.4	163.9	0.0			191.8		179.4	0.9	198.8		194.4	8.4	190.4		235.2	0.2
12	309.6	0.2					217.6	0.9	179.4	0.8	212.9		196.4		198.7		237.1	0.5
13	313.4						223.1	2.6	179.8		214.7	4.4	197.1	8.2	198.9		237.7	0.4
14	320.6	0.7					242.7	0.9	182.0	3.2	221.4	5.4	199.8	8.6	202.7		237.7	0.2
15	320.8						244.1	0.5	184.6	0.7	223.1	8.1	204.8	8.3	212.7	10.7	237.8	
16	324.0	0.5							184.6				206.4	14.5			238.1	0.3
17	325.0								190.7	0.8			208.1	7.4			239.8	0.3
18	325.5								195.5				210.7	7.9			240.2	0.0
19	325.7												216.3				267.6	0.0
20	334.7												217.5	7.2			292.8	
21													218.1					
22													220.1	14.5				
23													232.9	8.2				

L Resultados de Datación Radiométrica

L K-Ar法年代測定結果一覽表 Resultados de Datacion Radiometrica

試料名 Muestra	分析鉱物 Medios	絶対年代 Edad(Ma)	Rad. ⁴⁰ Ar 10 ⁻¹⁰ mol/g	%Rad ⁴⁰ Ar	K wt%	備考 Nota
E067OK	Ser/Smec	7.7 ± 0.2	0.593 0.580	50.9 79.7	4.37 4.38	El Durazno *1
D010QK	Sericita	39.5 ± 1.0	3.01 3.03	78.6 77.7	4.36 4.37	Matasano *2
E049cK	Ser/Smec	2.52 ± 0.07	0.143 0.147	31.4 35.6	3.32 3.31	Chanton(N)*3
B020cK	Sericita	85.9 ± 2.1	7.23 7.01	89.6 90.3	4.67 4.66	Coyolito *3
B012cK	Sericita	6.4 ± 0.2	0.692 0.718	64.9 68.6	6.40 6.37	El Playon *3
E018cK	Sericita	24.7 ± 0.6	2.49 2.57	78.5 76.1	5.86 5.87	Tepanguare(Mina de Rubi)*3
E021cK	Sericita	18.4 ± 0.5	1.77 1.85	70.5 70.9	5.65 5.66	Tepanguare *3
E076cK	Hornblenda	23.2 ± 0.6	0.433 0.428	50.8 57.4	1.06 1.07	Monzonite con cuarzo*3 (Cerro El Palmar)
E071GK	Sericita	10.8 ± 0.3	1.16 1.16	83.3 73.7	6.18 6.14	El Plomo(El Padre)*4
E073GK	Sericita	12.6 ± 0.3	1.14 1.14	65.1 68.6	5.18 5.20	El Plomo(Amatillo)*4
E001gK	Sericita	19.1 ± 0.5	1.19 1.26	68.1 57.0	3.69 3.69	Rio La Sonta *4
D002gK	Ser/Smec	11.3 ± 0.3	1.45 1.54	57.2 58.4	7.63 7.61	Rio La Sonta(W)*4
B008VK	Sericita	67.0 ± 1.7	6.02 6.07	84.8 86.3	5.11 5.10	El Rosario *5
E015YK	Sericita	22.6 ± 0.6	1.33 1.33	66.9 66.5	3.38 3.36	Yuscaran(Guayabillas)*6
E077YK	Ser/Smec	23.3 ± 0.6	0.861 0.870	63.2 76.2	2.13 2.13	Yuscaran(Mata de Platano)*6
B010hK	Sericita	80.5 ± 2.0	5.85 5.76	87.9 91.0	4.06 4.06	Las Jaguas(E)*7
E016PK	Sericita	206 ± 5	10.4 10.5	89.8 91.8	2.77 2.75	Palmilla(Rehabilitacion 4)*8
B029ZK	Sericita	66.9 ± 1.7	6.69 6.78	96.5 94.1	5.71 5.69	Vueltas del Rio(#1 Pit)
B027ZK	Sericita	78.8 ± 2.0	6.92 7.18	78.4 72.7	5.05 5.04	Vueltas del Rio(#2 Pit)
San Martin 3	Alunita	23.6 ± 0.6	0.535 0.544	65.9 67.2	1.31 1.31	San Martin #3
E080SK	Sericita	8.6 ± 0.2	0.928 0.955	73.2 74.5	6.33 6.31	San Antonio de Oriente
E082SK	Sericita	12.7 ± 0.3	1.46 1.47	47.3 53.0	6.62 6.65	Los Lirios

Ser/Smec: Mineral de Capa Mixta de Sericita y Smectita

*1: Sector Ocotepeque, *2: Sector Quitagana, *3: Sector Comayagua, *4: Sector Guasucaran,

*5: Sector Valle de Angeles, *6: Sector Yuscaran, *7: Sector Higuero Morado, *8: Sector Palmillas

M Pruebas de Reproducción

M Pruebas de Reproducción

En el siguiente cuadro se muestran los resultados de las pruebas. Para los propósitos del cálculo estadístico, los resultados del análisis que arrojaron resultados por debajo del límite de detección, fueron tratados con valor equivalente a la “mitad del límite de detección”.

Se realizó el estudio sobre la precisión (reproducibilidad) del análisis, mediante los coeficientes de correlación y la fórmula iterativa ($Dup. = a * Orig. + b$). Si la reproducción fuese perfecta, los coeficientes de correlación darán,

- 1) coeficiente de correlación = 1 ó
- 2) sin varianza (caso en que todas las muestras den el mismo valor, resultando una desviación igual a cero) haciendo imposible los cálculos;

y en el caso de la fórmula iterativa,

- 1) $a = 1$ y $b = 0$ ó
- 2) sin varianza haciendo imposible los cálculos.

Los análisis mediante los coeficientes de correlación dieron para el cobre, un valor de coeficiente bajo (0.308), resultando mala la reproducibilidad. Sin embargo, en cuanto al cobre, para el Par 1 se observó disparidad, mientras que los Pares 2 al 6 mostraron buena coincidencia. El bajo valor del coeficiente de correlación del antimonio (0.800), se explica por la gran disparidad del caso Par 1, infiriéndose que la toma de esta muestra no ha sido la adecuada. En consecuencia, la evaluación de la reproducibilidad deberá realizarse, exceptuando al Par 1, en cuyo caso las reproducibilidades del cobre y antimonio resultan ser aceptables.

Los elementos que dieron valores de coeficiente de correlación por debajo de 0.9 son: cobre, antimonio citados, cromo, molibdeno, níquel y talio.

De entre ellos, molibdeno y talio resultaron con disparidades por debajo del límite de detección. Como se citara arriba, para los valores por debajo de este límite, se adoptaron valores equivalentes a la mitad del mencionado límite, razón por la cual, es posible que la disparidad se haya magnificado por este tratamiento. (V.g. En caso se consideren los mismos valores límite de detección 0.001, es posible despreciar todas las disparidades generadas.) En consecuencia, no es posible afirmar que las reproducibilidades del molibdeno y talio son malas.

En el caso de níquel, las disparidades dadas por los Pares 4 (2 ppm y 3 ppm), 5 (3 ppm y 4 ppm) y 6 (3 ppm y 2 ppm) son las causantes de su baja correlación. En este caso, los valores extremos son 1 ppm y 4 ppm; asimismo, las mediciones arrojaron valores equidistantes de 1 ppm. Esta situación podría ser el causal de su baja correlación. (Es decir, si los Pares 4, 5 y 6 hubiesen arrojado respectivamente valores como 2.49 ppm y 2.50 ppm, 3.49 ppm y 3.50 ppm, y 2.50 ppm y 2.49; viraría la situación tornándose buena la reproducibilidad.) En consecuencia, no es posible afirmar con certeza que la reproducibilidad del níquel es mala.

En cuanto a los valores bajos de los coeficientes de correlación para el cromo, los Pares 4 y 5 han influido notablemente. Estos pares a pesar de su disparidad con los demás elementos analizados, esta es despreciable, infiriéndose que para el caso del cromo no fue posible mantener el nivel alto de correlación.

De los elementos analizados cuyo valor del coeficiente “a” de la fórmula iterativa se desviaron considerablemente del valor ideal 1 son el mercurio y fósforo, exceptuando al cobre, antimonio, cromo, molibdeno, níquel y talio. En el caso del mercurio, la situación es similar al caso del níquel, y no es posible afirmar que su reproducibilidad es mala. Por las mismas razones para el caso del fósforo (sin embargo, los resultados del análisis son equidistantes en 10 ppm), no es posible afirmar que su reproducibilidad es mala.

De entre los demás elementos analizados que arrojaron valores de “b” muy desviados con respecto al cero se tienen al bario (-5.1857), manganeso (27.8224) y uranio (-2.8745). En ellos, los valores absolutos de los cocientes entre los valores de “b” con los respectivos rangos (Ba: 210, Mn: 499, U: 245), se tienen que son menores al 6%. Por tanto, tampoco es posible afirmar que la precisión del análisis es mala para bario, manganeso y uranio.

De lo anterior, se infiere que el cromo tiene problemas para su reproducibilidad, no obstante, para los demás elementos analizados, aparentemente no existen problemas de reproducibilidad.

Duplicate 試驗結果 Resultados de La Prueba de Duplicado

		Pair #1		Pair #2		Pair #3		Pair #4		Pair #5		Pair #6		Correlation	Dup.=a × Orig.+b	
		B003ES	B004ES	B014ES	B015ES	D002ES	D003ES	D017ES	D018ES	E002ES	E003ES	E013ES	E014ES		a	b
Au	ppm	<0.005	<0.005	<0.005	<0.005	<0.005	<0.005	<0.005	<0.005	<0.005	<0.005	<0.005	<0.005	No Variance	No Variance	
Ag	ppm	<0.2	<0.2	<0.2	<0.2	<0.2	<0.2	<0.2	<0.2	<0.2	<0.2	<0.2	<0.2	No Variance	No Variance	
Al	%	0.77	0.67	1.17	1.24	1.16	1.15	0.58	0.56	1.92	1.89	1.04	1.03	0.994	0.9653	0.0545
As	ppm	<2	<2	9	8	9	8	<2	<2	<2	<2	<2	<2	1.000	1.1429	-0.1429
B	ppm	<10	<10	<10	<10	<10	<10	<10	<10	<10	<10	<10	<10	No Variance	No Variance	
Ba	ppm	130	120	170	180	270	260	110	120	60	60	150	150	0.992	1.0350	-5.1857
Be	ppm	1.2	1	0.6	0.6	0.9	0.9	1.3	1.4	1.7	1.8	0.5	0.5	0.976	0.9011	0.1022
Bi	ppm	<2	3	<2	<2	<2	<2	<2	<2	<2	<2	<2	<2	No Variance	No Variance	
Ca	%	0.11	0.09	0.24	0.26	0.26	0.25	0.06	0.06	0.02	0.02	0.06	0.06	0.992	0.9609	0.0065
Cd	ppm	<0.5	<0.5	<0.5	<0.5	<0.5	<0.5	<0.5	<0.5	<0.5	<0.5	<0.5	<0.5	No Variance	No Variance	
Co	ppm	6	6	3	3	4	4	7	7	9	9	7	6	0.983	1.0073	0.1241
Cr	ppm	39	34	7	4	15	15	22	31	22	37	19	17	(0.794)	0.6485	5.7522
Cu	ppm	18	5	6	6	6	5	2	2	7	7	6	5	[0.308]	1.0000	2.5000
Fe	%	3.67	3.44	0.95	0.99	1.33	1.47	4.22	4.6	5.5	5.6	3.52	3.12	0.988	0.9733	0.0805
Ga	ppm	10	10	10	10	10	10	20	20	20	20	10	10	1.000	1.0000	0.0000
Hg	ppm	3	2	1	1	<1	<1	3	2	4	3	<1	<1	0.989	1.5000	-0.2500
K	%	0.09	0.08	0.21	0.22	0.33	0.31	0.06	0.06	0.03	0.03	0.09	0.09	0.996	1.0364	-0.0015
La	ppm	10	10	20	20	20	20	10	10	10	10	10	10	1.000	1.0000	0.0000
Mg	%	0.12	0.11	0.09	0.1	0.15	0.15	0.1	0.11	0.11	0.11	0.12	0.12	0.936	1.1087	-0.0143
Mn	ppm	691	630	380	403	503	552	818	879	721	748	732	661	0.940	0.9497	27.8224
Mo	ppm	<1	<1	1	1	<1	<1	<1	<1	<1	<1	1	<1	(0.632)	0.8000	0.2000
Na	%	0.04	0.03	0.02	0.01	0.07	0.07	0.03	0.03	0.01	0.01	0.02	0.02	0.973	0.9329	0.0052
Ni	ppm	3	3	1	1	2	2	2	3	3	4	3	2	(0.701)	0.5455	0.9697
P	ppm	70	70	70	80	60	60	60	70	40	50	40	30	0.900	0.6875	15.4167
Pb	ppm	12	12	11	13	18	18	15	16	18	18	13	12	0.940	0.9918	-0.2122
S	%	<0.01	<0.01	<0.01	<0.01	<0.01	<0.01	<0.01	<0.01	<0.01	<0.01	<0.01	<0.01	No Variance	No Variance	
Sb	ppm	2	5	<2	<2	5	5	3	4	5	5	<2	<2	0.800	0.7436	0.2308
Sc	ppm	4	4	2	2	2	2	5	5	11	11	4	4	1.000	1.0000	0.0000
Sr	ppm	9	8	30	32	41	38	1	<1	<1	<1	11	11	0.995	1.0159	0.1779
Ti	%	0.55	0.45	<0.01	<0.01	0.05	0.06	0.7	0.75	1.01	1.05	0.36	0.32	0.991	0.9512	0.0281
Tl	ppm	10	<10	<10	<10	<10	<10	10	<10	10	10	<10	<10	[0.447]	0.6000	4.0000
U	ppm	60	60	<10	<10	<10	10	70	90	240	250	<10	<10	0.997	0.9577	-2.8745
V	ppm	99	94	13	13	28	33	115	126	193	195	102	91	0.993	0.9867	0.8909
W	ppm	<10	<10	<10	<10	<10	<10	<10	<10	<10	<10	<10	<10	No Variance	No Variance	
Zn	ppm	79	75	20	22	31	34	91	100	86	87	88	77	0.977	1.0029	-0.1937

[]:<0.5 ():<0.8

ε-M